



TEMA 6: Transferencia electrónica en la fosforilación oxidativa: Rol de las metaloproteínas.

- **Glicólisis**
 - **Conversión de Glucosa a Piruvato**

- **Transformación de piruvato a Acetil-CoA**
 - **Funcionamiento del complejo piruvato deshidrogenasa**
 - **Cofactores involucrados**

- **Ciclo de Krebs**
 - **Funcionamiento de algunas enzimas**

- **Otros fuentes de energía**
 - **Catabolismo de lípidos**
 - **Catabolismo de aminoácidos**

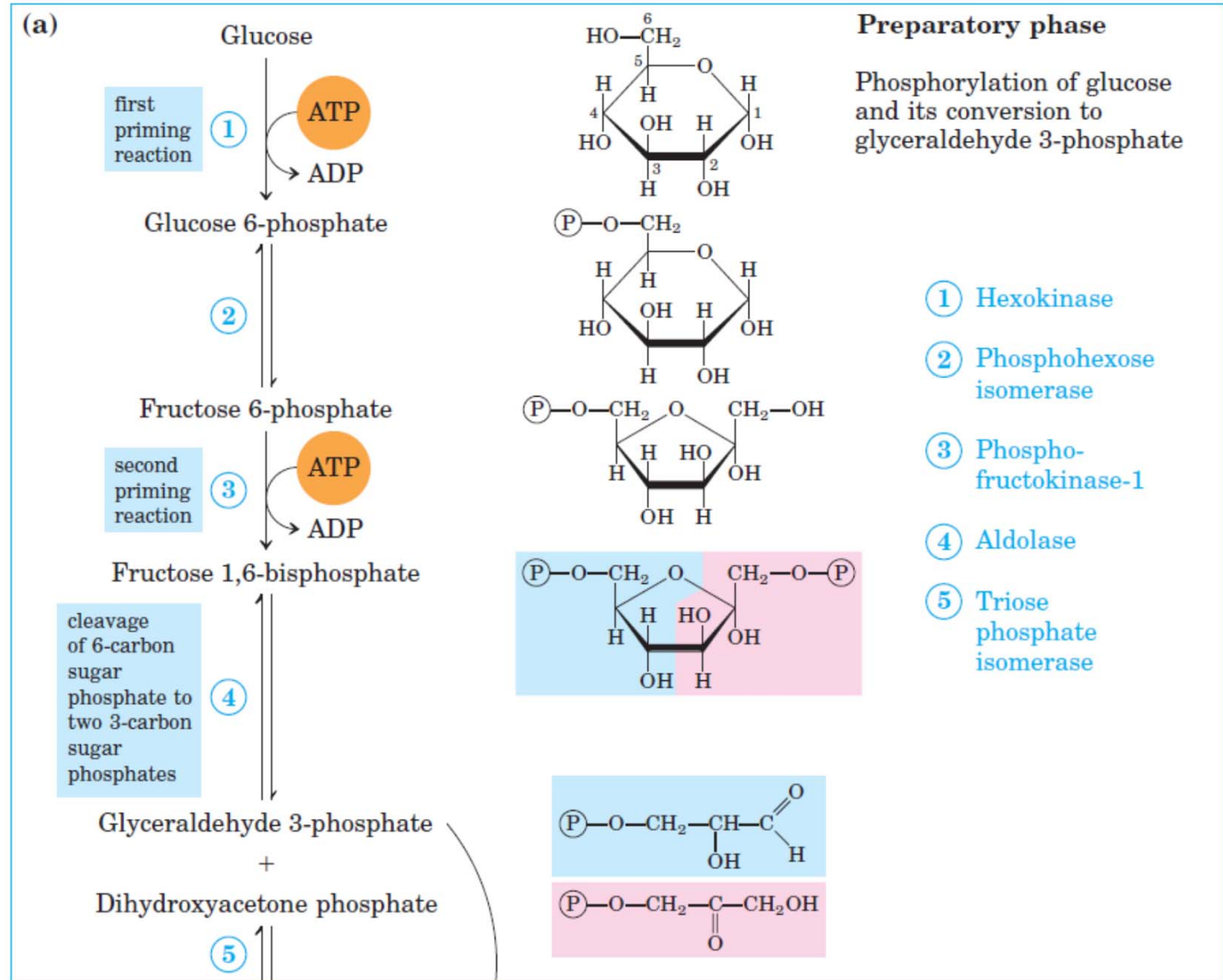
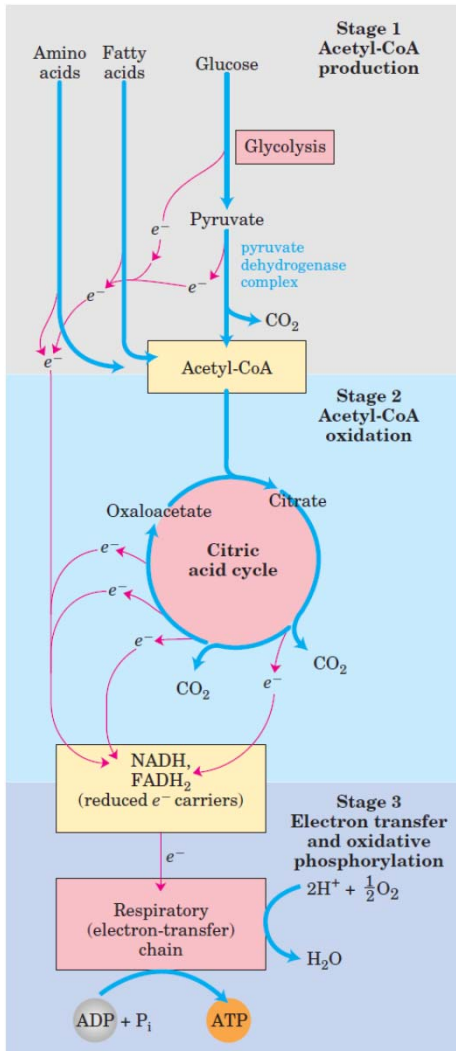
- **Fosforilación oxidativa**
 - **Complejo I**
 - **Complejo II**
 - **Complejo III**
 - **Complejo IV**
 - **Complejo V**

- **Modelo de Mosser-Duton**
 - **Cálculo de constantes de transferencia electrónica**

Lehninger
Principles of Biochemistry

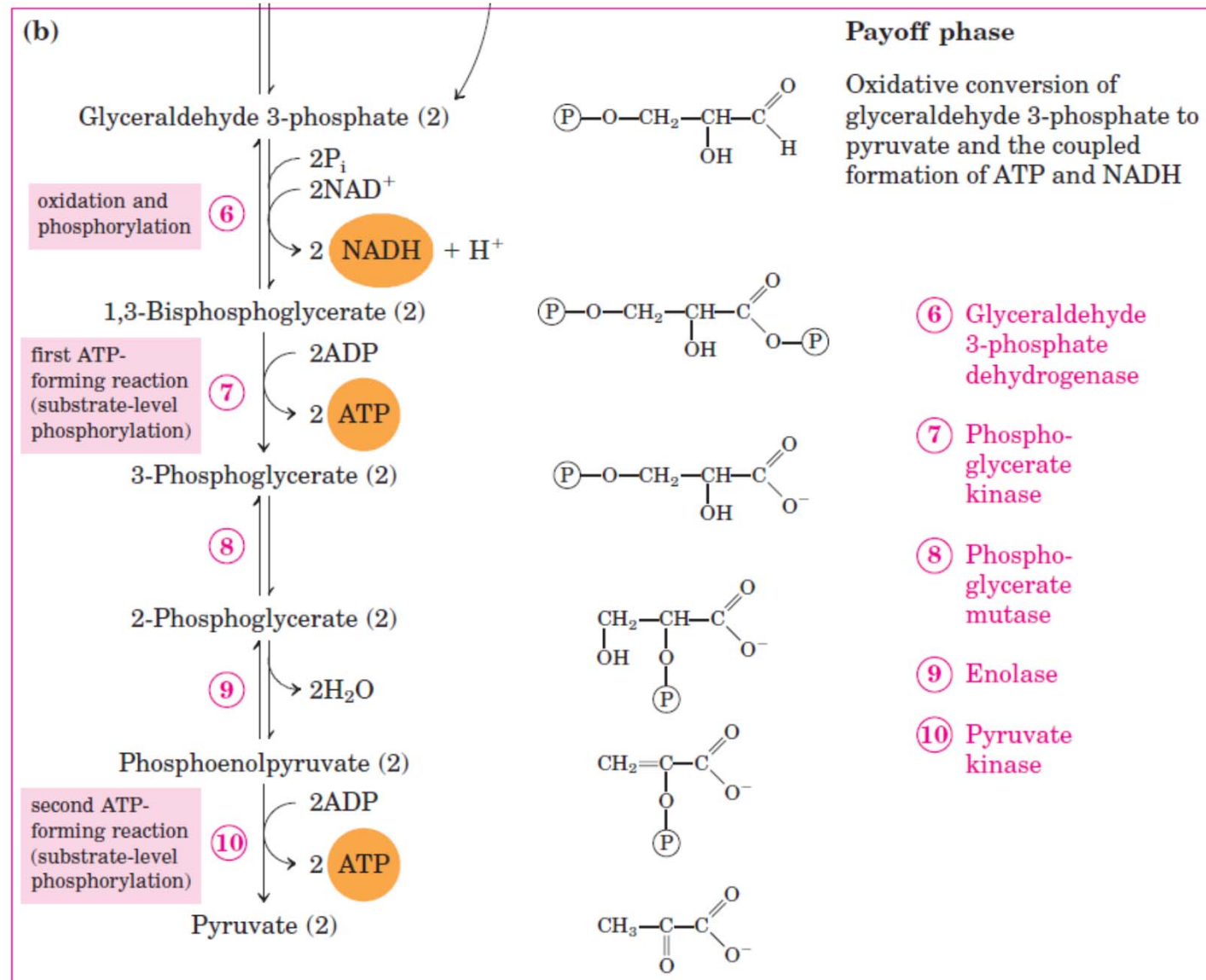
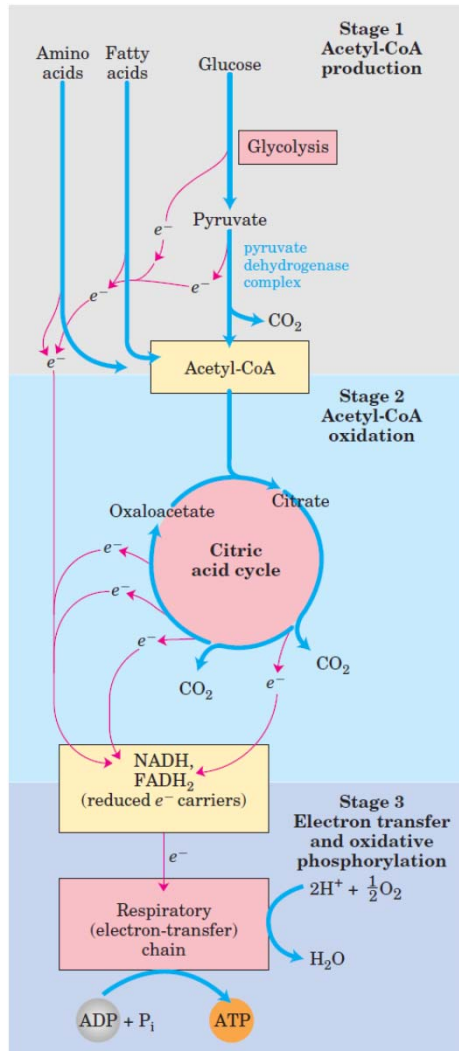


Glicólisis: Parte 1





Glicólisis: Parte 2



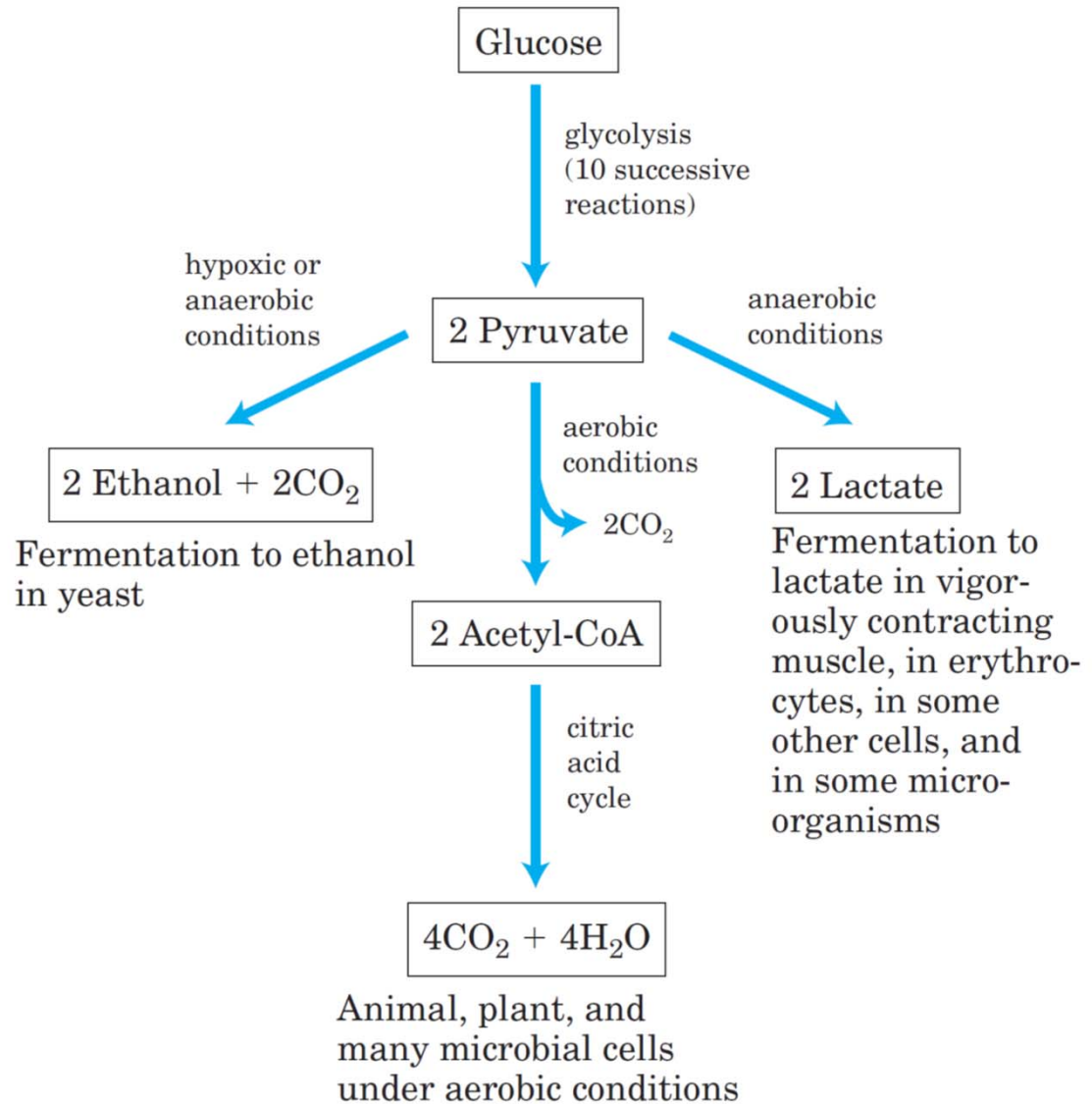
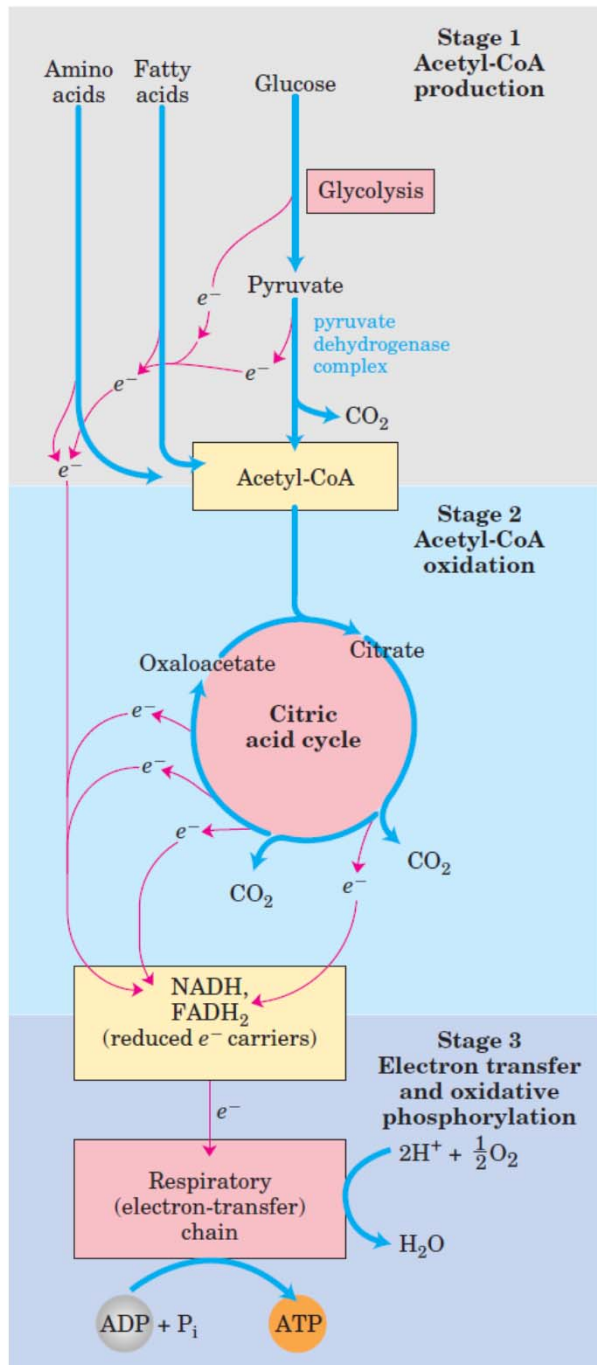
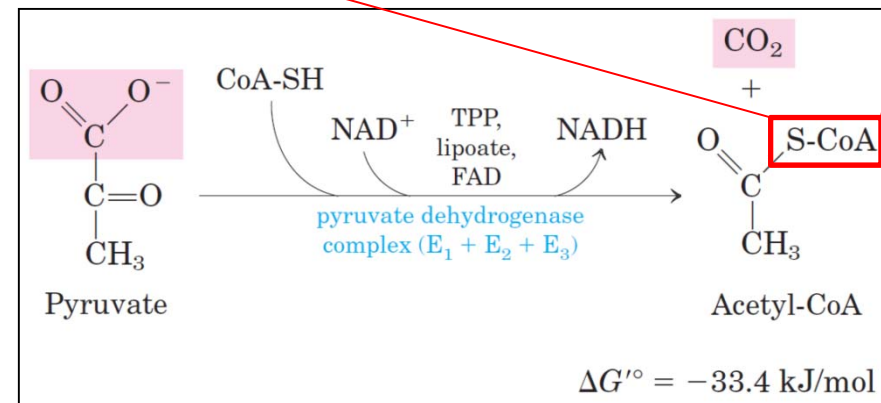
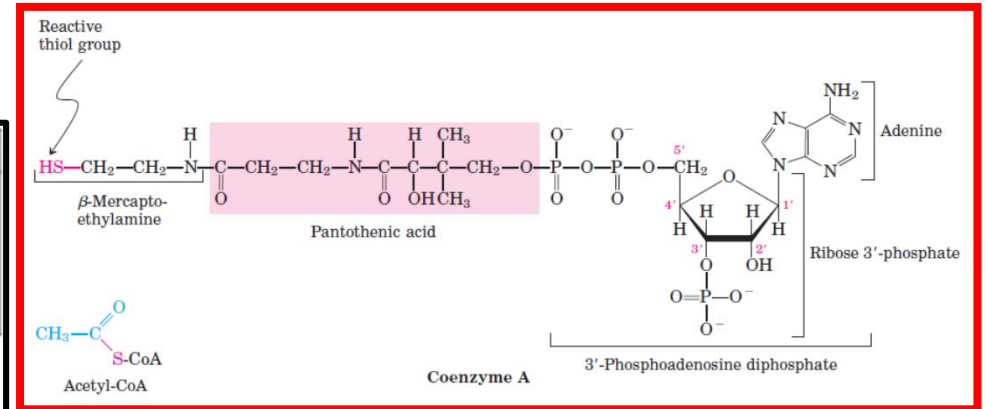
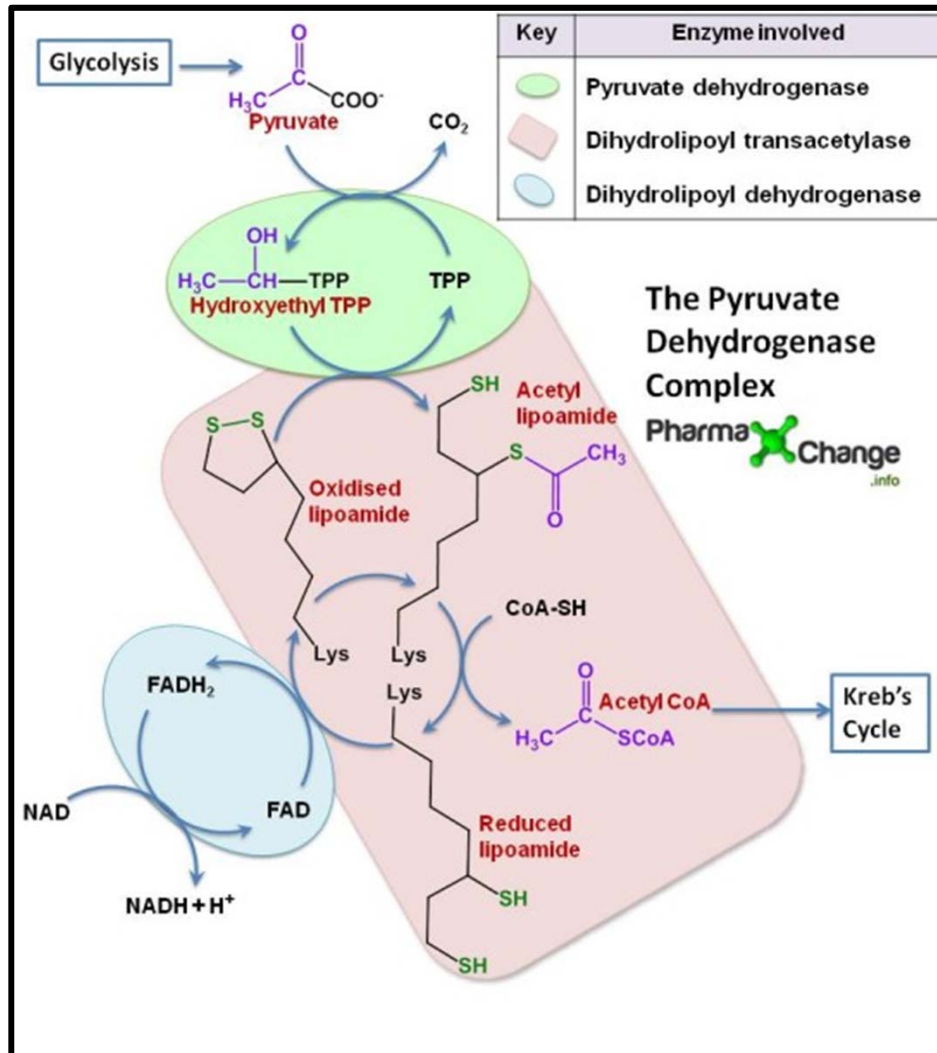


FIGURE 14-3 Three possible catabolic fates of the pyruvate formed in glycolysis. Pyruvate also serves as a precursor in many anabolic reactions, not shown here.

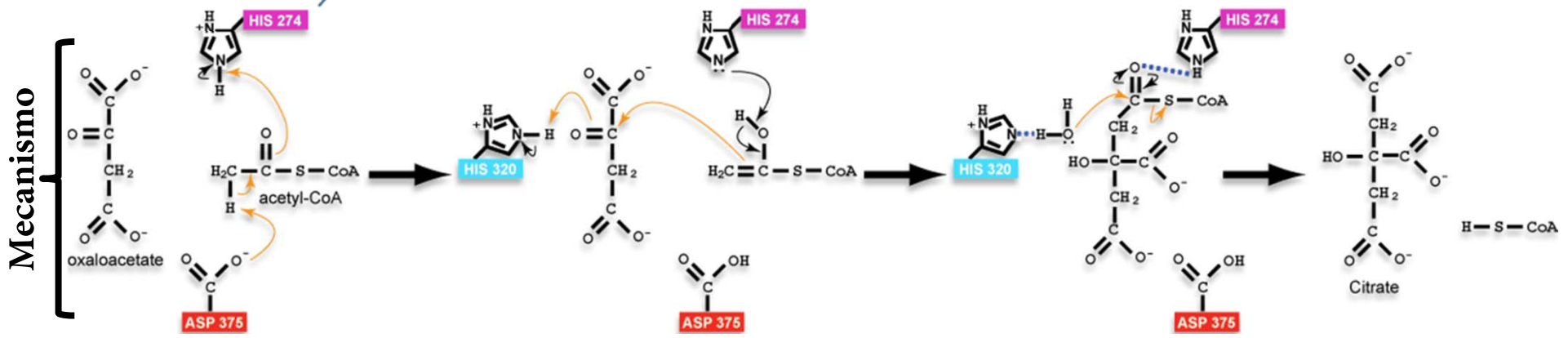
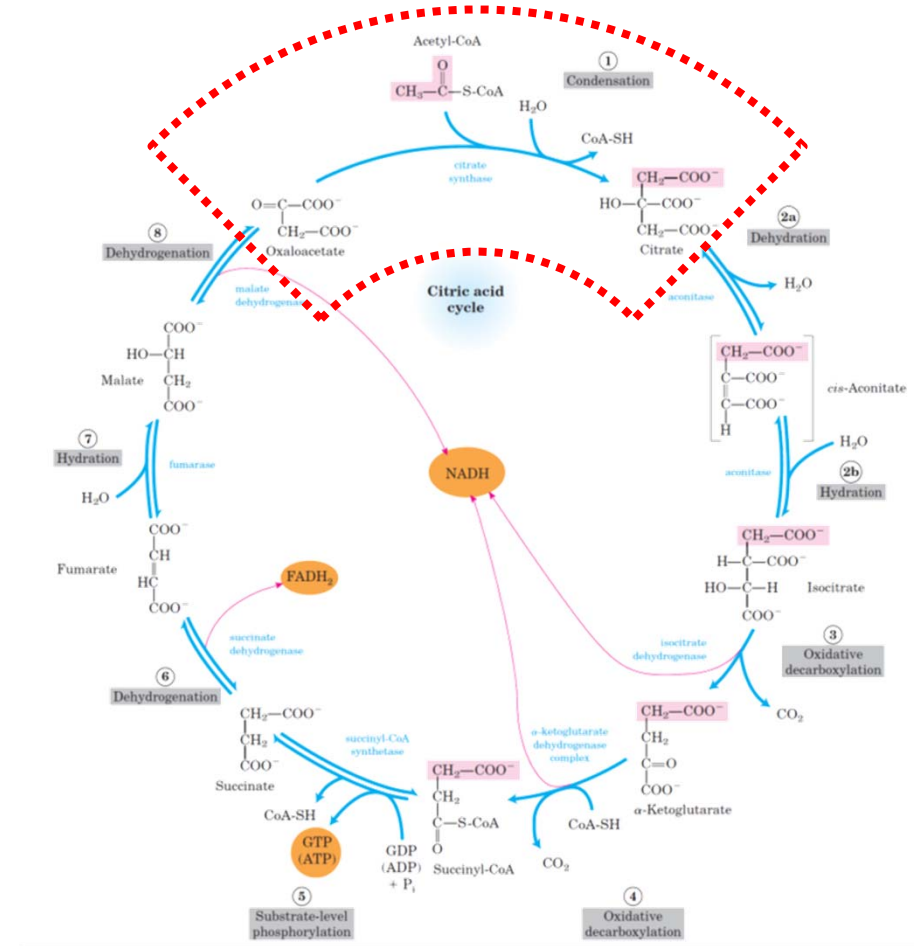
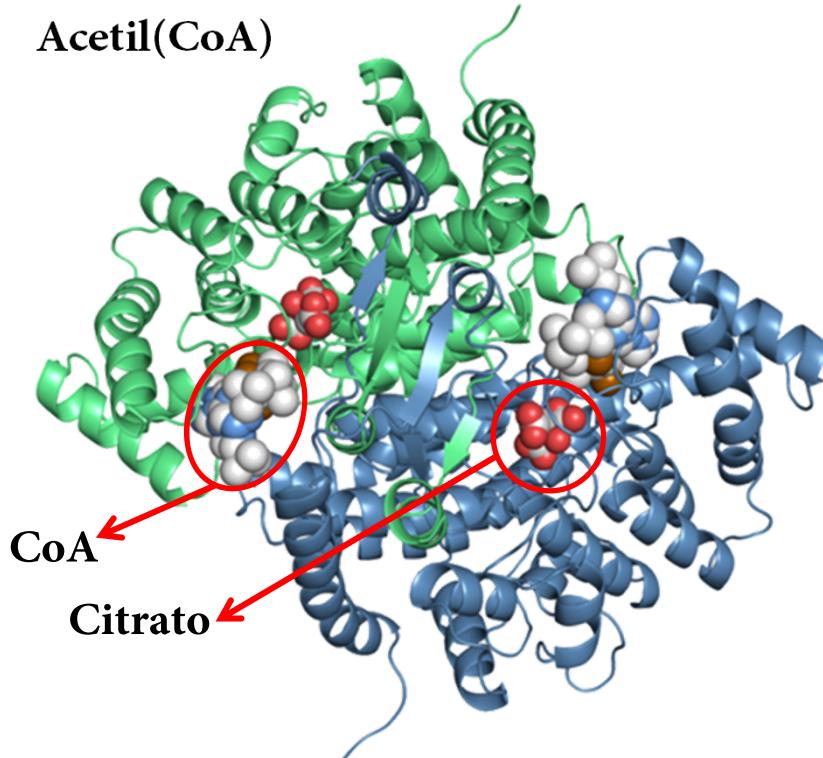
piruvato desidrogenasa

- Heterotramero complejo ($\alpha\beta\gamma$)
- Sitio activo: Sin metales ☹️ / TPP, FAD, CoA
- Reacción: Descarboxilación oxidativa (NAD^+)



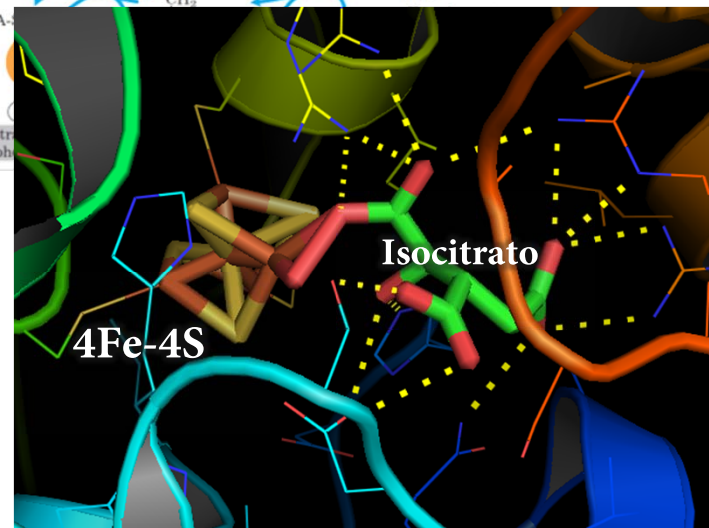
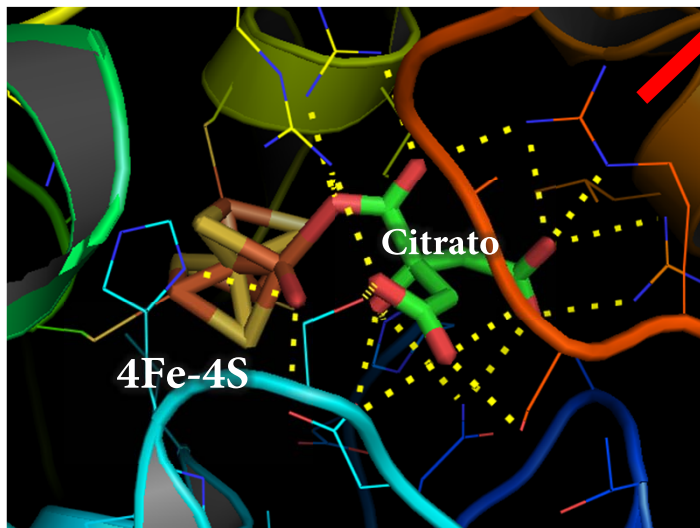
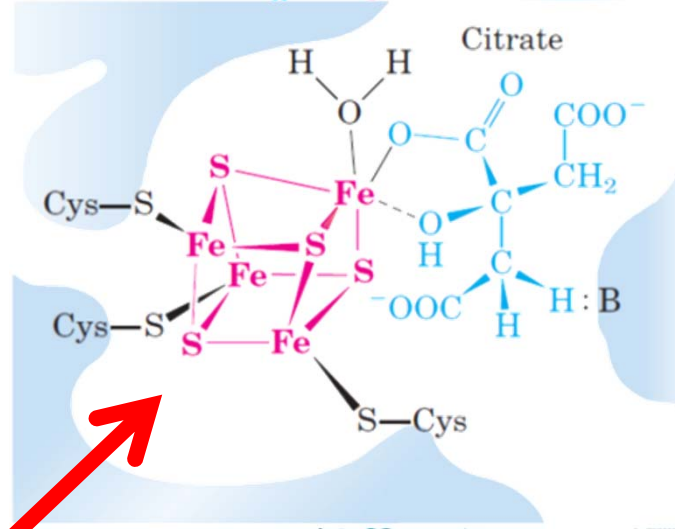
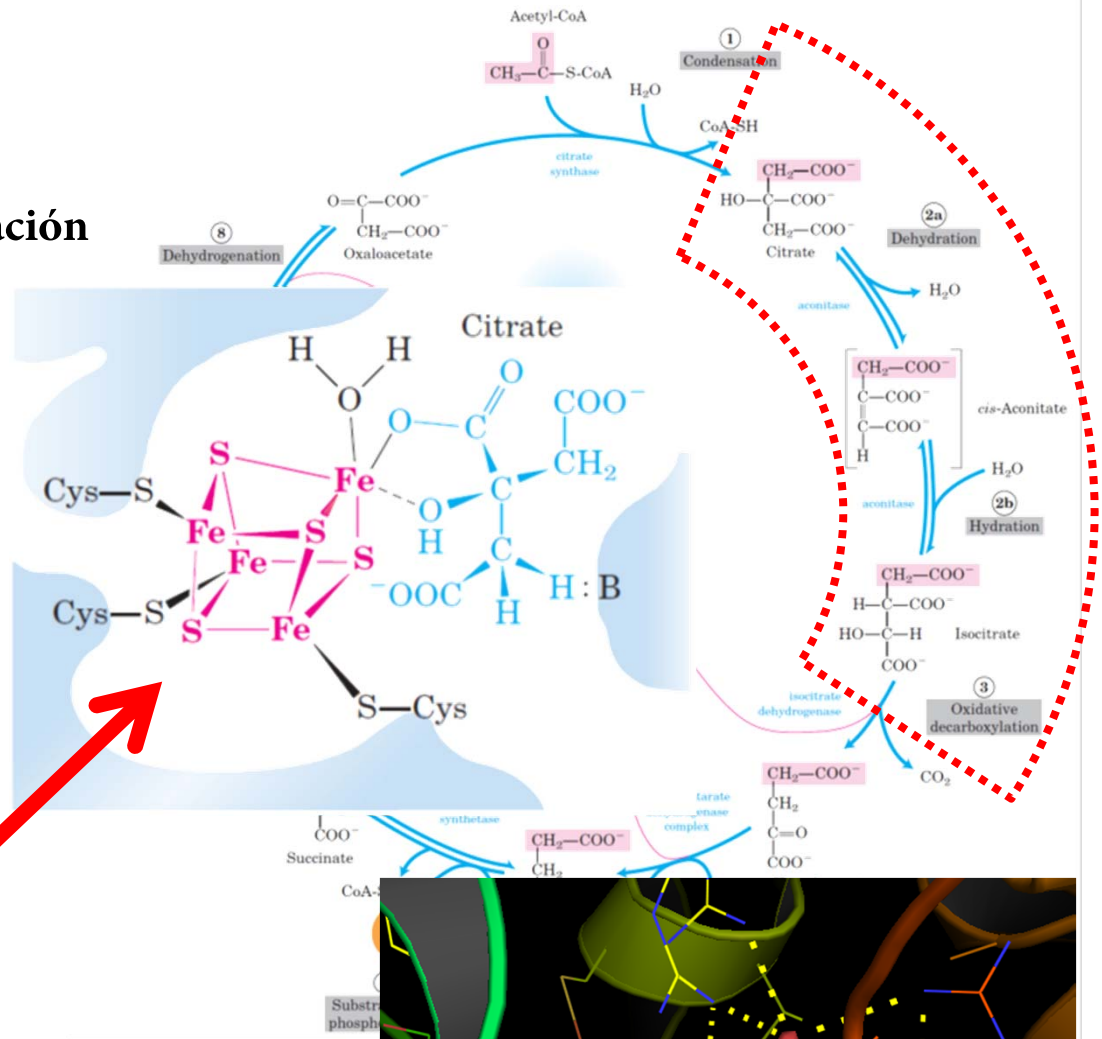
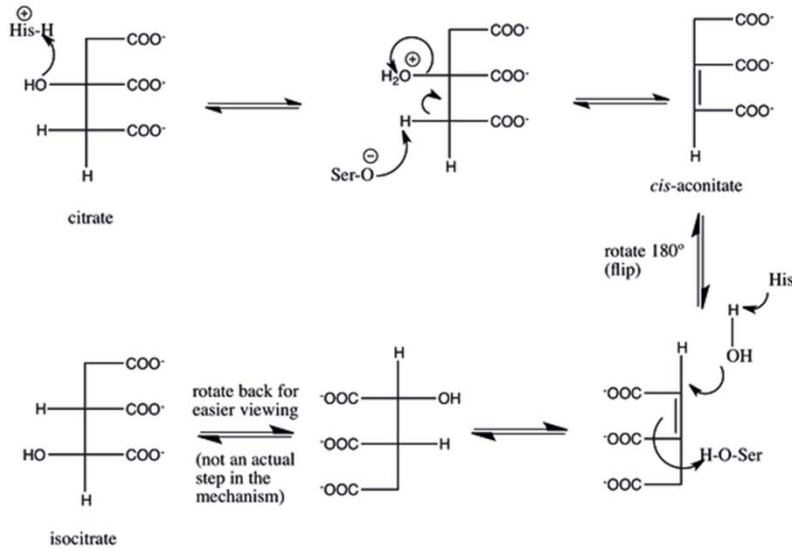
Citrato sintetasa

- Homodimero - Sin grupos prostéticos ☹️
- His → ácido Lewis
- Reacción: condensación del Oxaloacetato + Acetil(CoA)



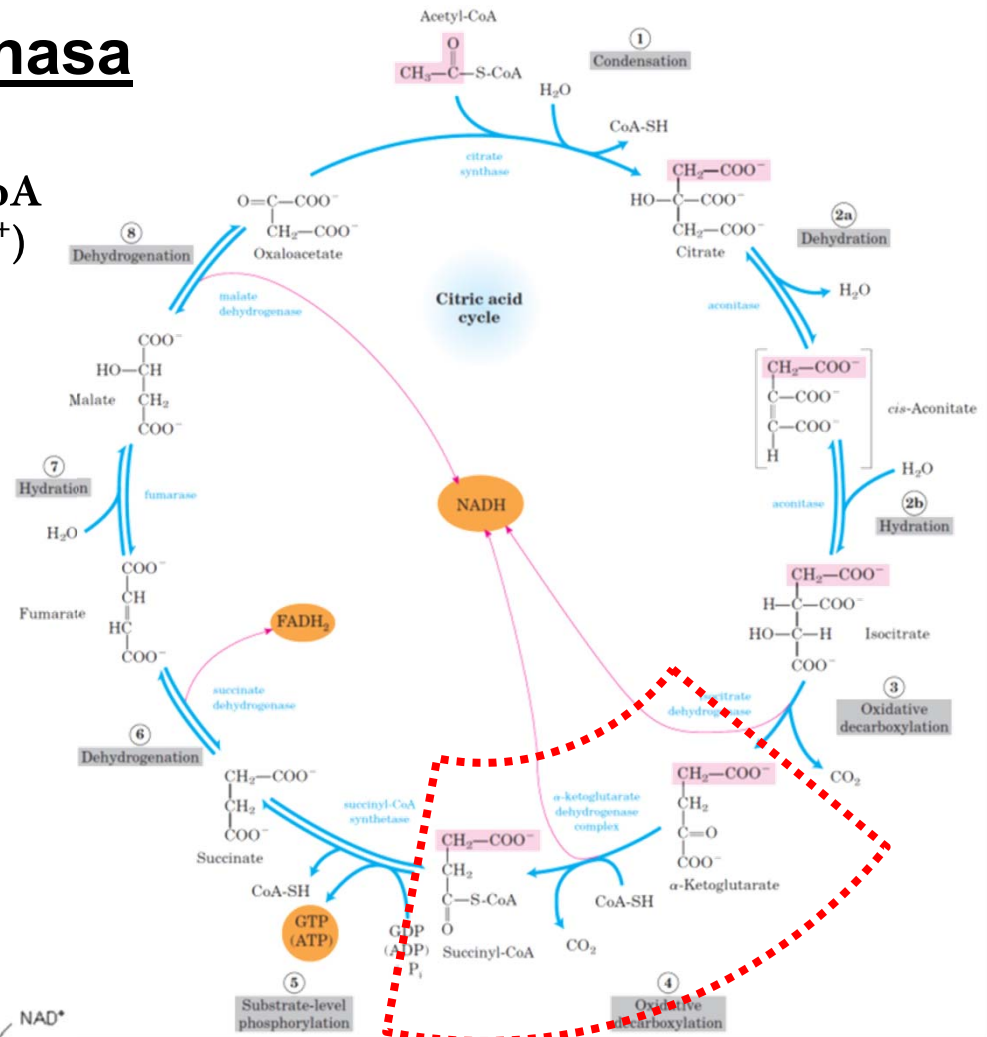
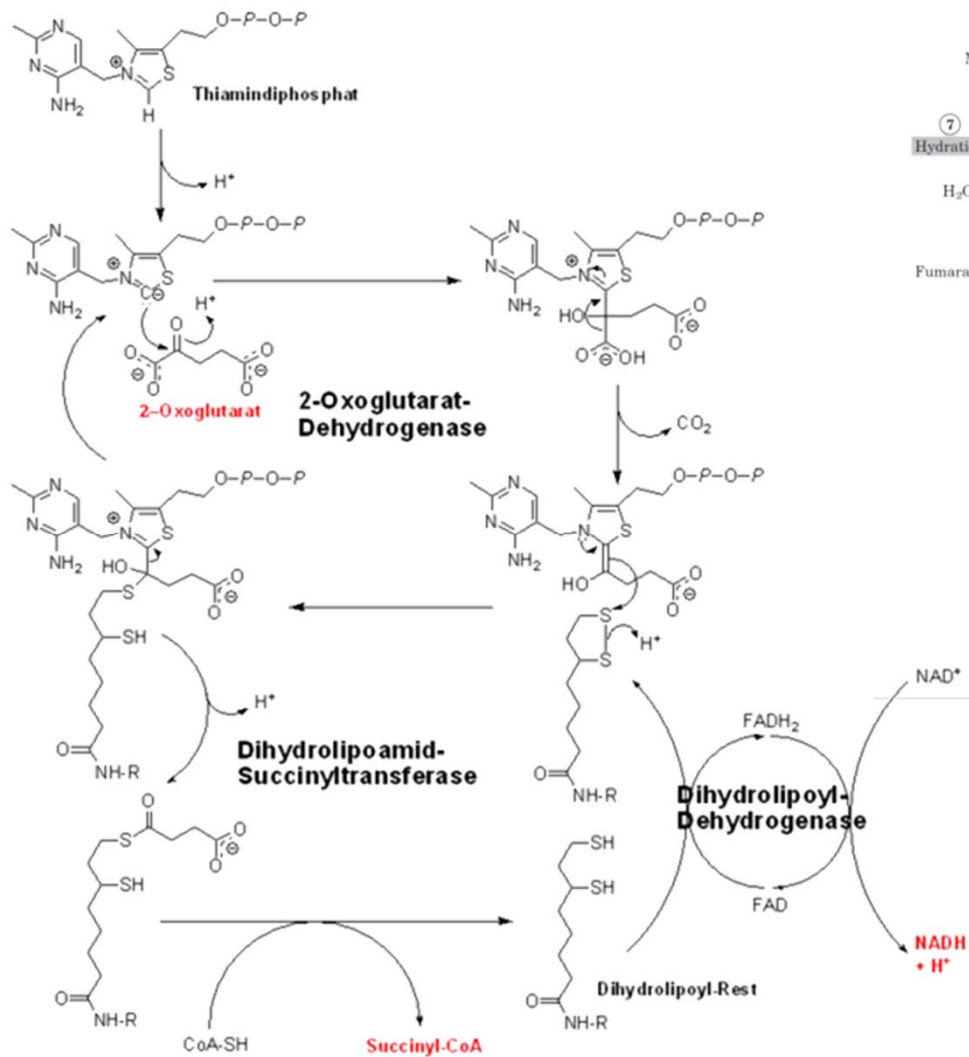
Aconitasa

- Monomero
- Sitio activo: [4Fe-4S] - No redox
- Reacción: Deshidratación → Hidratación



α -cetoglutarato desidrogenasa

- Heterotrimerico complejo ($\alpha\beta\gamma$ o $E_1E_2E_3$)
- Sitio activo: Sin metales ☹️ / TPP, FAD, CoA
- Reacción: Descarboxilación oxidativa (NAD^+)



succinil-CoA sintetasa

- Succinato tioquinasa o succinato/CoA ligasa
- Heterodimero ($\alpha\beta$)
- Sitio activo: Sin metales ☹️ - ADP o GDP
- Reacción: generación de ATP/GTP

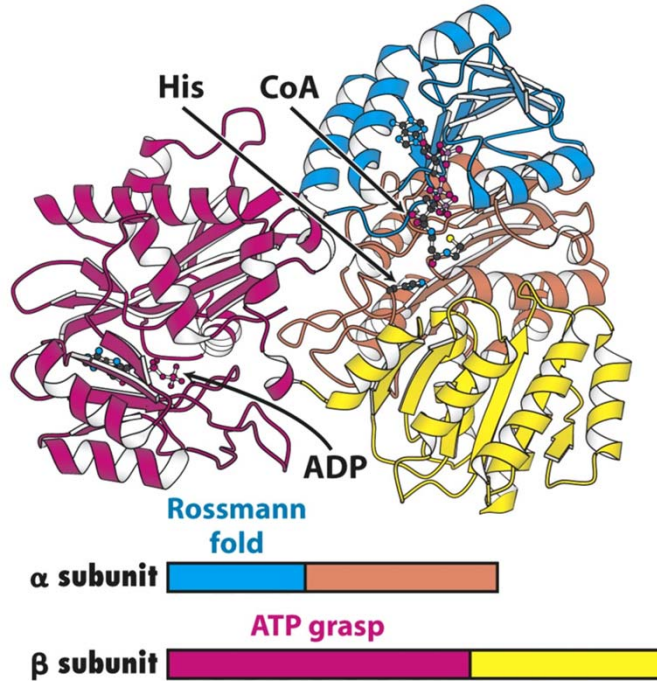
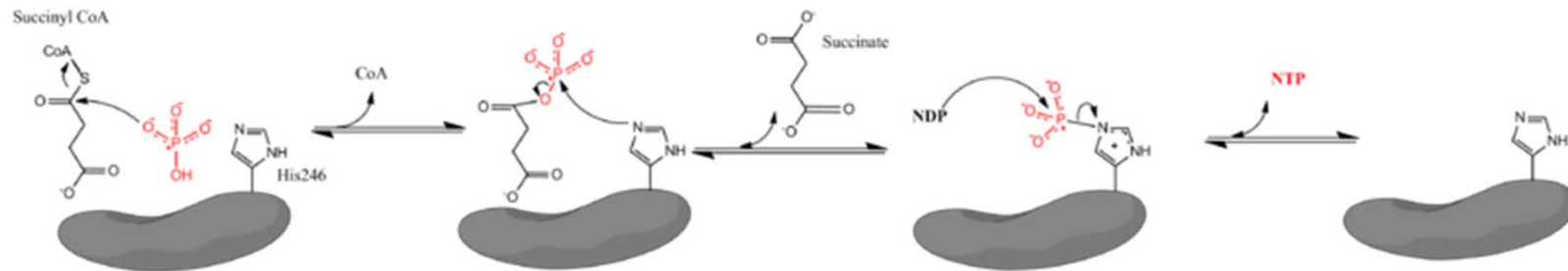
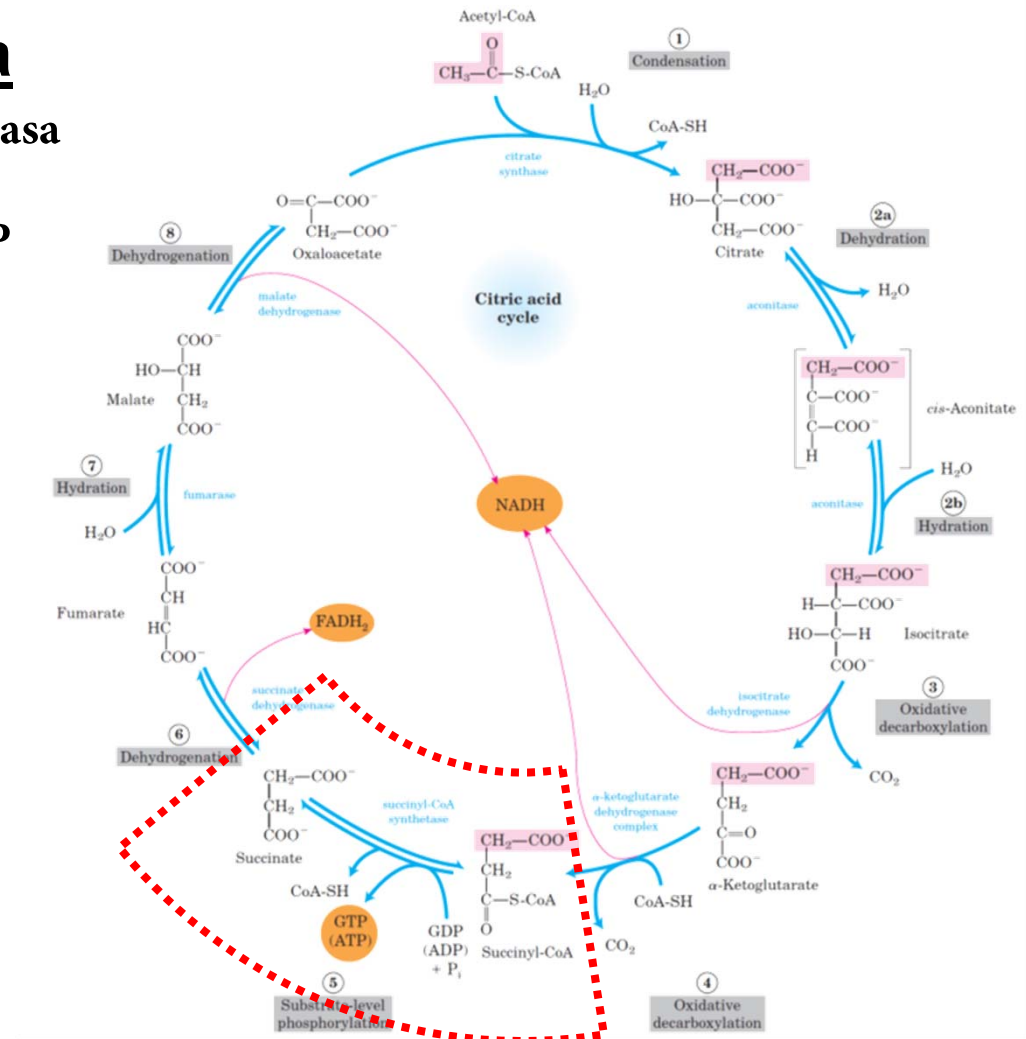


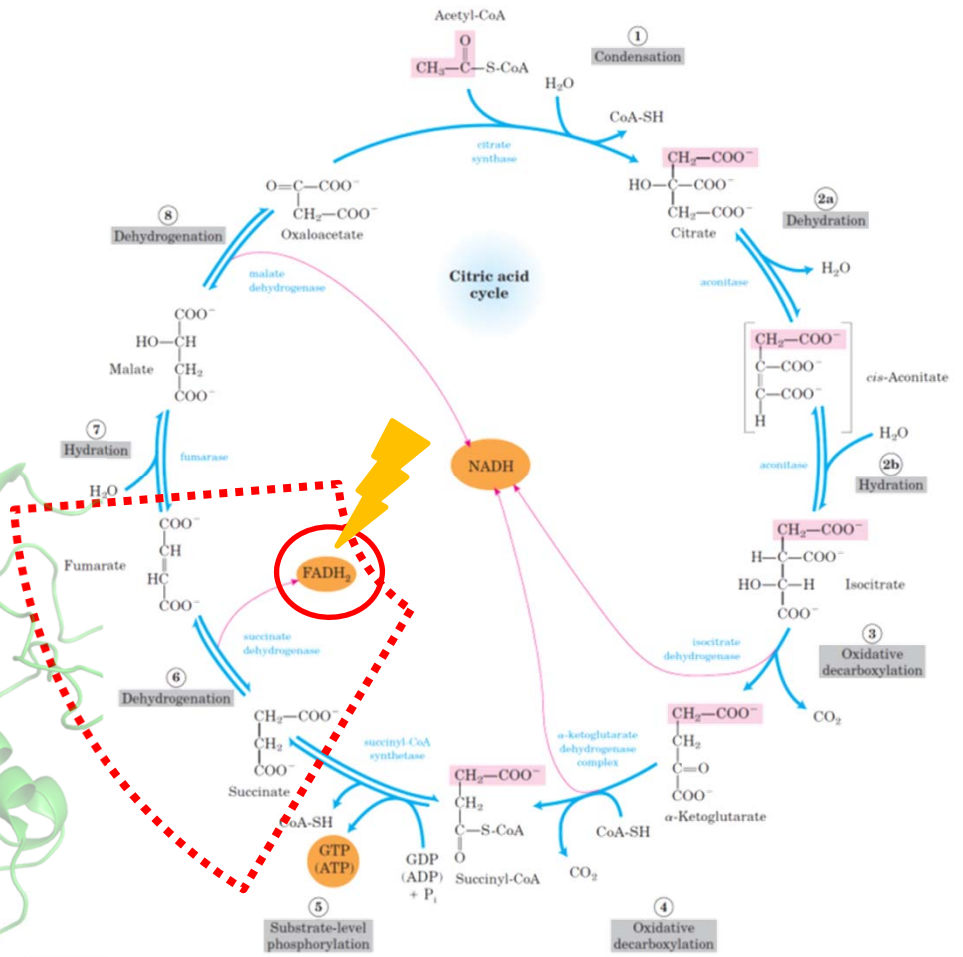
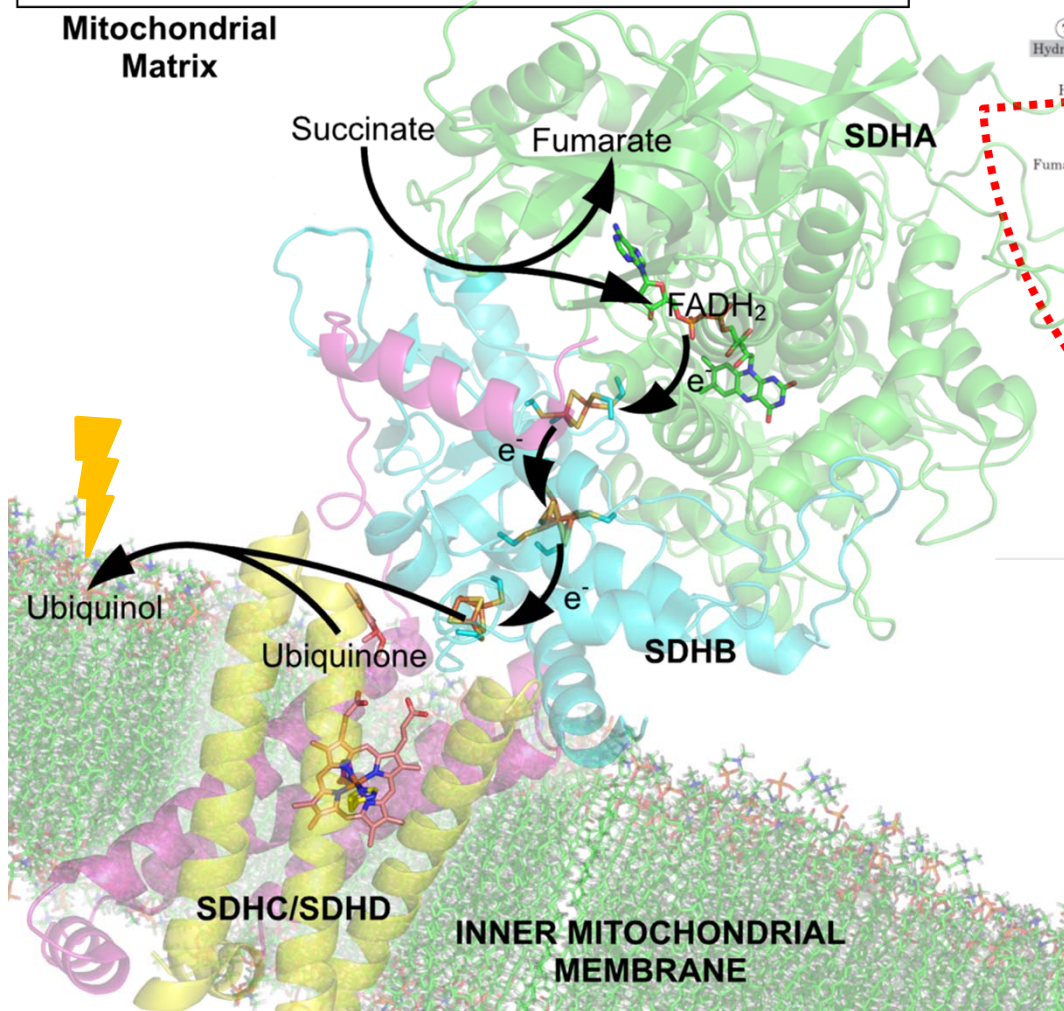
Figure 17-14
Biochemistry, Sixth Edition
© 2007 W.H. Freeman and Company



succinato deshidrogenasa

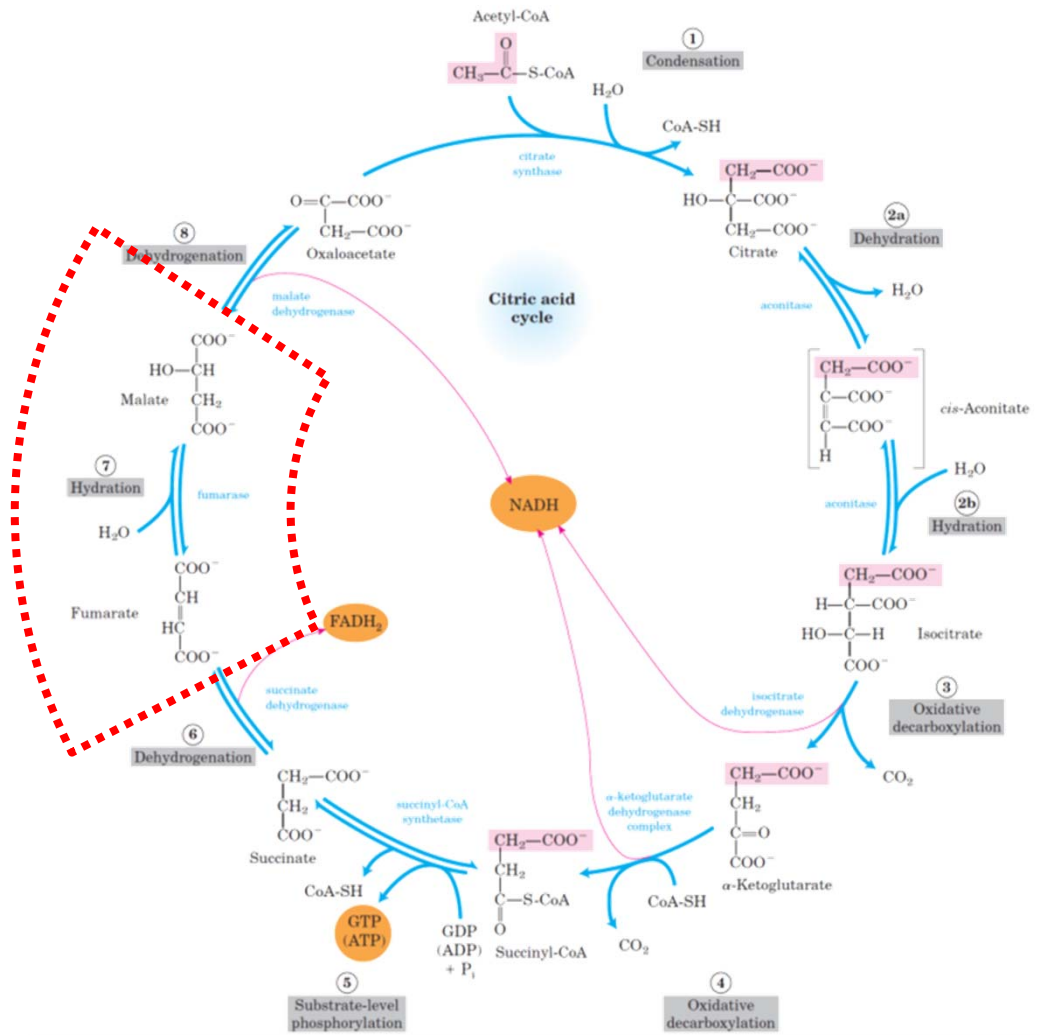
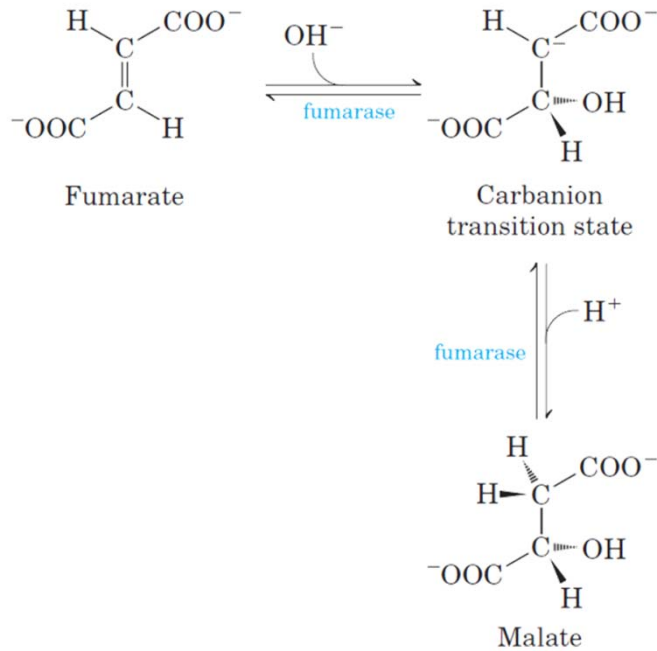
- succinato:CoQ oxidoreductasa o **Complejo II**
- Heterodimero ($\alpha\beta\gamma\delta$)
- Sitio activo: FAD
- Transferencia e^- : [2Fe-2S], [4Fe-4S], and [3Fe-4S]
- Reacción: Redox
 (succinato \rightarrow fumarato + $2e^-$)
 ($UQ + 2e^- \rightarrow UQH_2$)

Mitochondrial Matrix



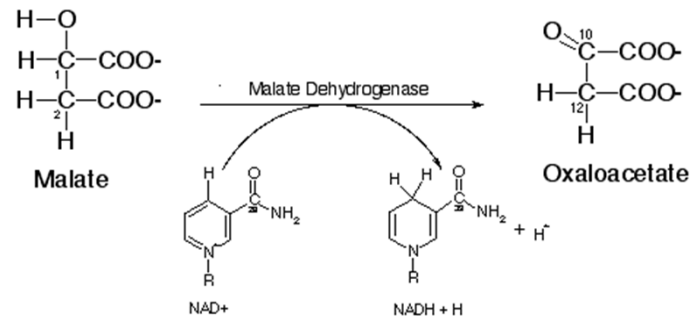
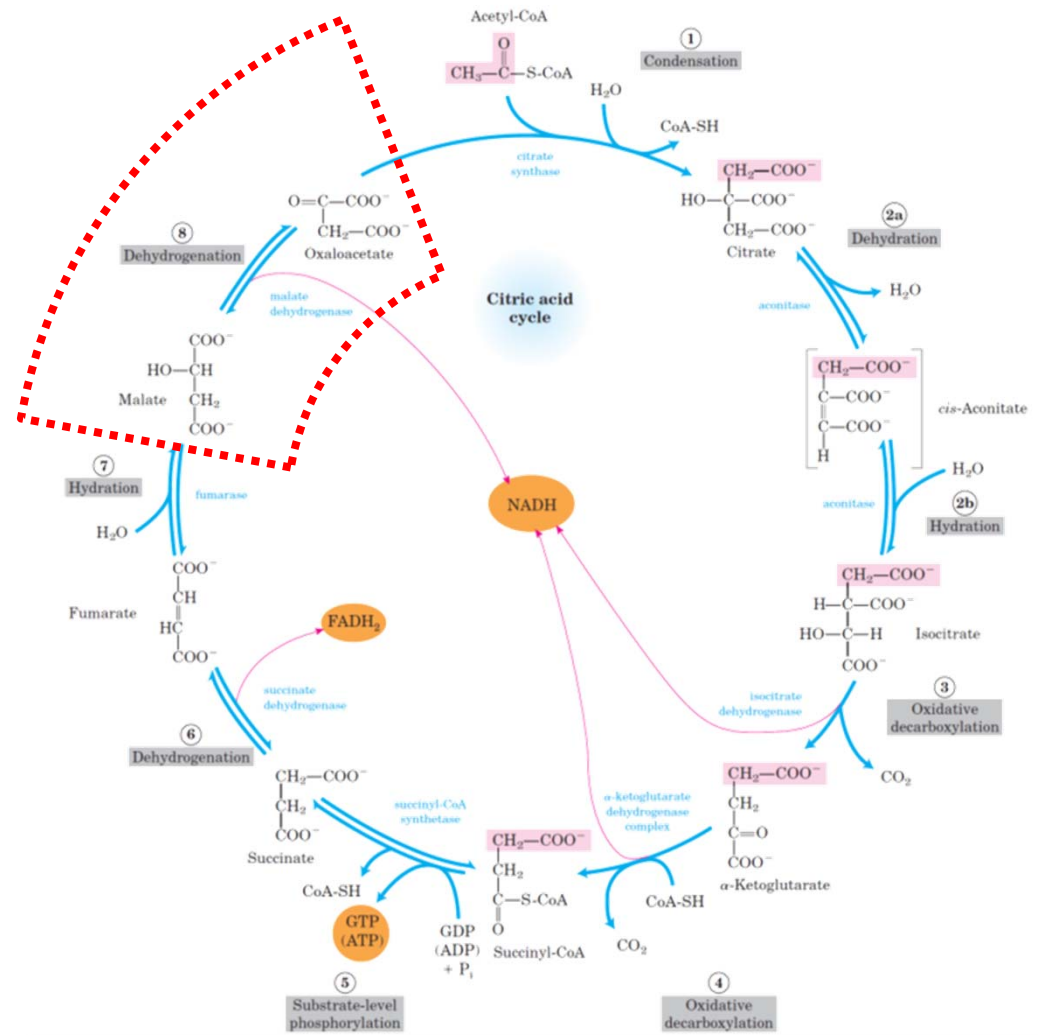
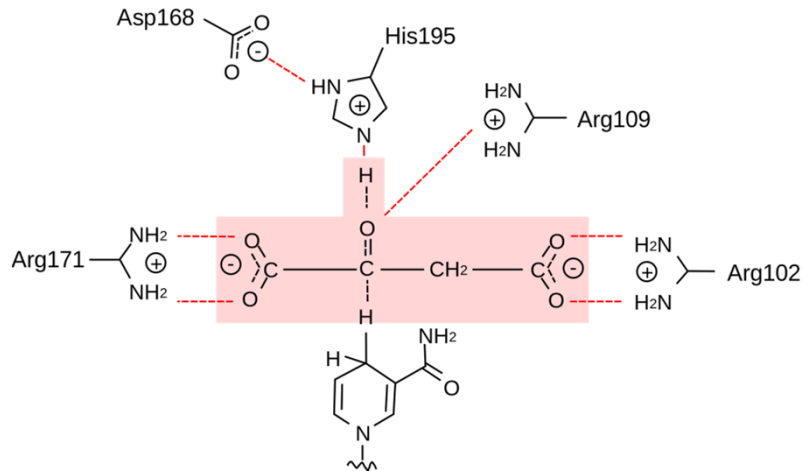
Fumarato hidratasa

- Fumarasa
- Homotetramero (α_4)
- Sitio activo: Sin metales ☹️
- Reacción: Hidratación
(fumarato \rightarrow L-malato)



Malato desidrogenasa

- Homodimero (α_2)
- Cercana filogenéticamente a LDH
- Sitio activo: Sin metales ☹️
- Reacción: Redox
(malato \rightarrow oxalato + $2e^-$)
($\text{NAD}^+ + 2\text{H}^+ + 2e^- \rightarrow \text{NADH} + \text{H}^+$)



Balance energético

→ Glicólisis:

- -2 ATP + 4 ATP = 2 ATP /glucosa
- 2 **NADH** / glucosa

→ Piruvato deshidrogenasa

- 1 **NADH** / piruvato

→ Ciclo de Krebs

- Sólo 1 ATP (o GTP) por ciclo ☹️
- 3 **NADH** / ciclo
- 1 **FADH₂** / ciclo (UQ + 2e⁻ → **UQH₂**)

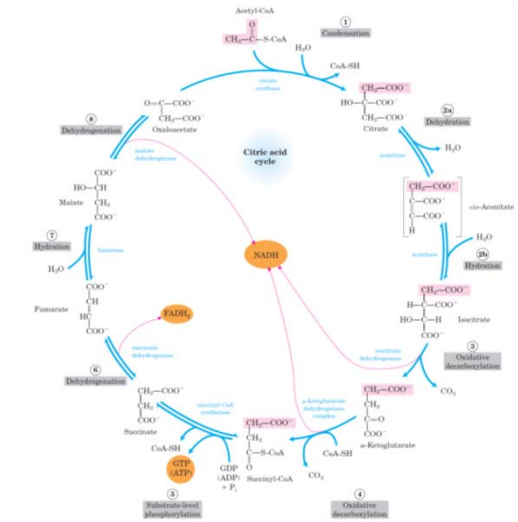


TABLE 16-1 Stoichiometry of Coenzyme Reduction and ATP Formation in the Aerobic Oxidation of Glucose via Glycolysis, the Pyruvate Dehydrogenase Complex Reaction, the Citric Acid Cycle, and Oxidative Phosphorylation

| Reaction | Number of ATP or reduced coenzyme directly formed | Number of ATP ultimately formed* |
|--|---|----------------------------------|
| Glucose → glucose 6-phosphate | -1 ATP | -1 |
| Fructose 6-phosphate → fructose 1,6-bisphosphate | -1 ATP | -1 |
| 2 Glyceraldehyde 3-phosphate → 2 1,3-bisphosphoglycerate | 2 NADH | 3 or 5 [†] |
| 2 1,3-Bisphosphoglycerate → 2 3-phosphoglycerate | 2 ATP | 2 |
| 2 Phosphoenolpyruvate → 2 pyruvate | 2 ATP | 2 |
| 2 Pyruvate → 2 acetyl-CoA | 2 NADH | 5 |
| 2 Isocitrate → 2 α-ketoglutarate | 2 NADH | 5 |
| 2 α-Ketoglutarate → 2 succinyl-CoA | 2 NADH | 5 |
| 2 Succinyl-CoA → 2 succinate | 2 ATP (or 2 GTP) | 2 |
| 2 Succinate → 2 fumarate | 2 FADH ₂ | 3 |
| 2 Malate → 2 oxaloacetate | 2 NADH | 5 |
| Total | | 30-32 |

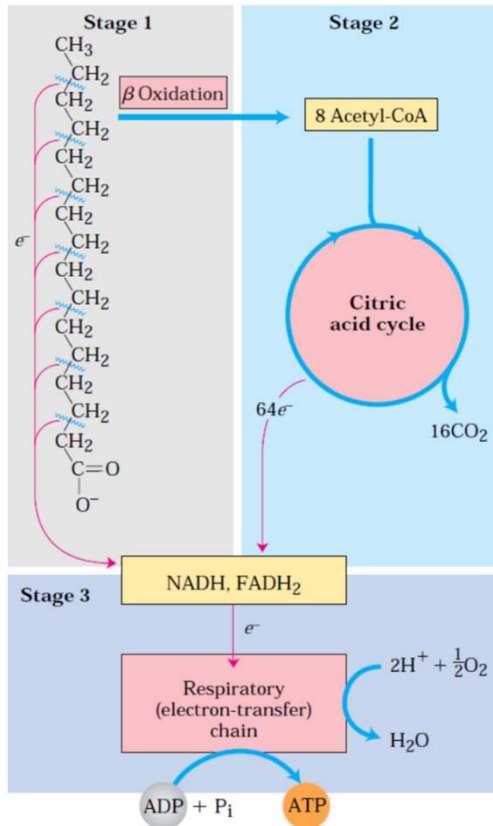
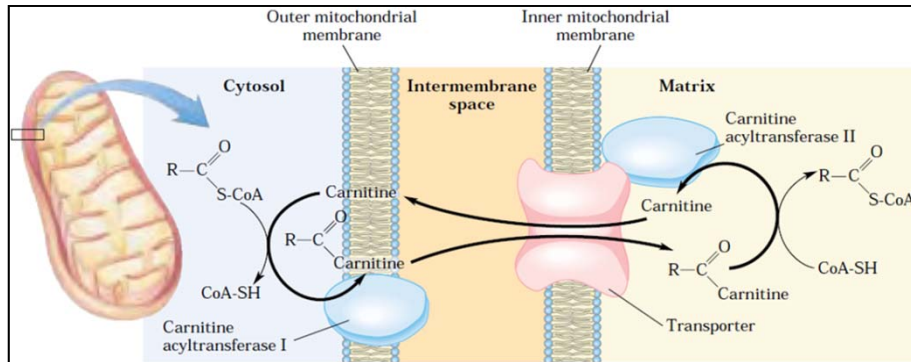
*This is calculated as 2.5 ATP per NADH and 1.5 ATP per FADH₂. A negative value indicates consumption.

[†]This number is either 3 or 5, depending on the mechanism used to shuttle NADH equivalents from the cytosol to the mitochondrial matrix; see Figures 19-27 and 19-28.

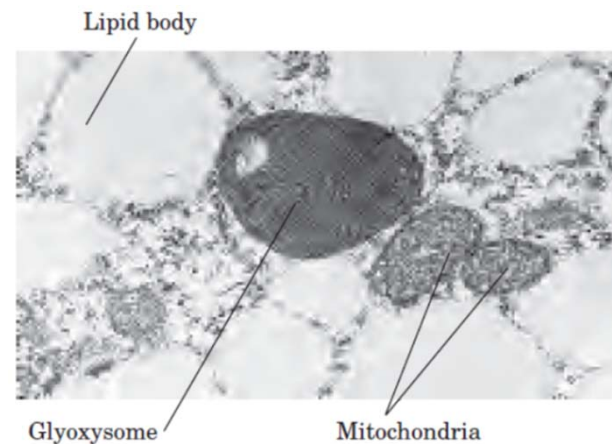
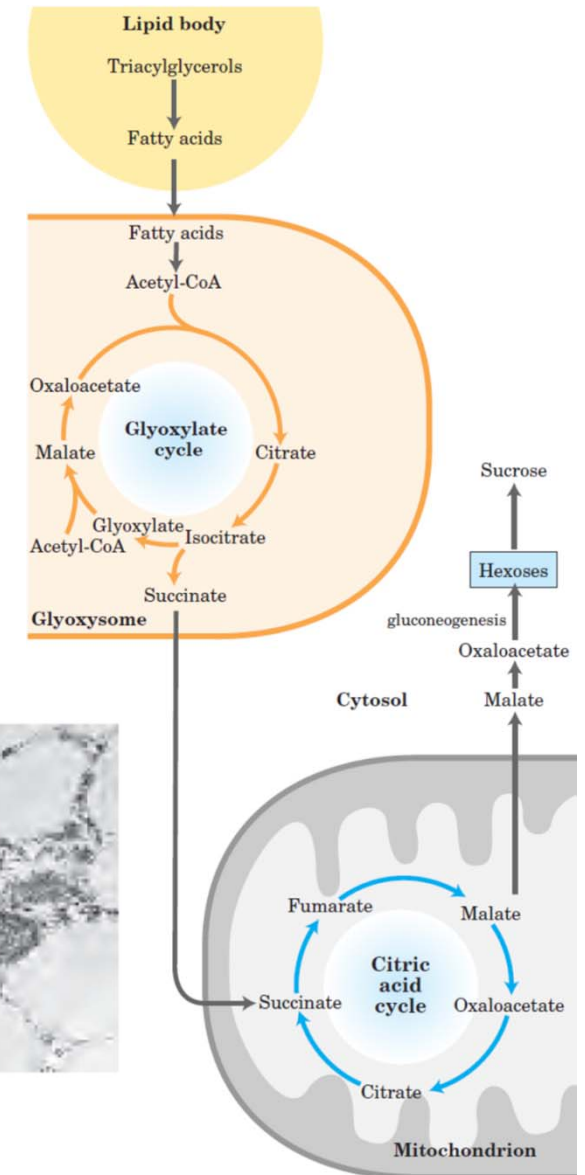
...no sólo los carbohidratos aportan energía...

Catabolismo de lípidos

β-oxidación de lípidos en la mitocondria

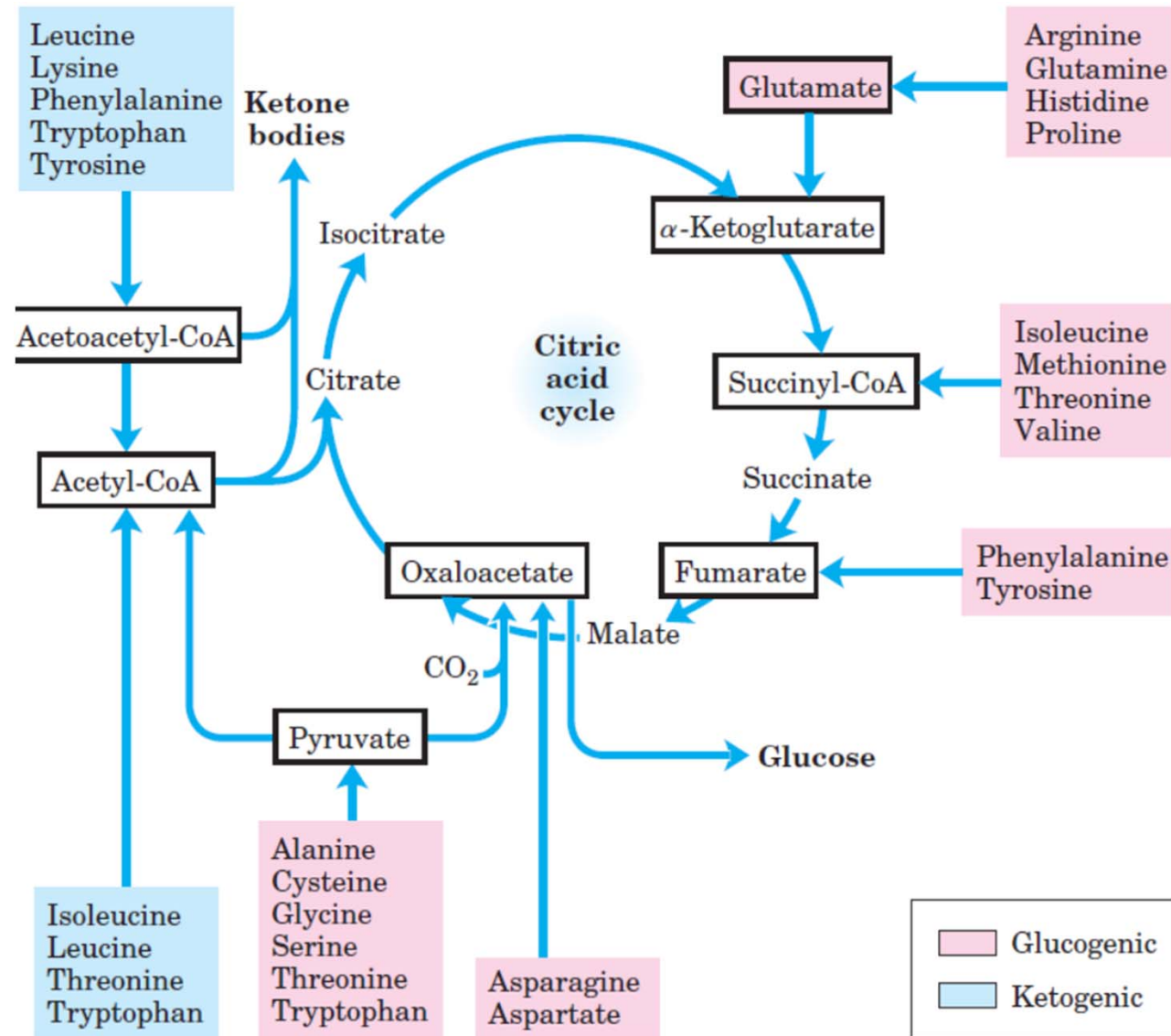


Oxidación en glioxisomas



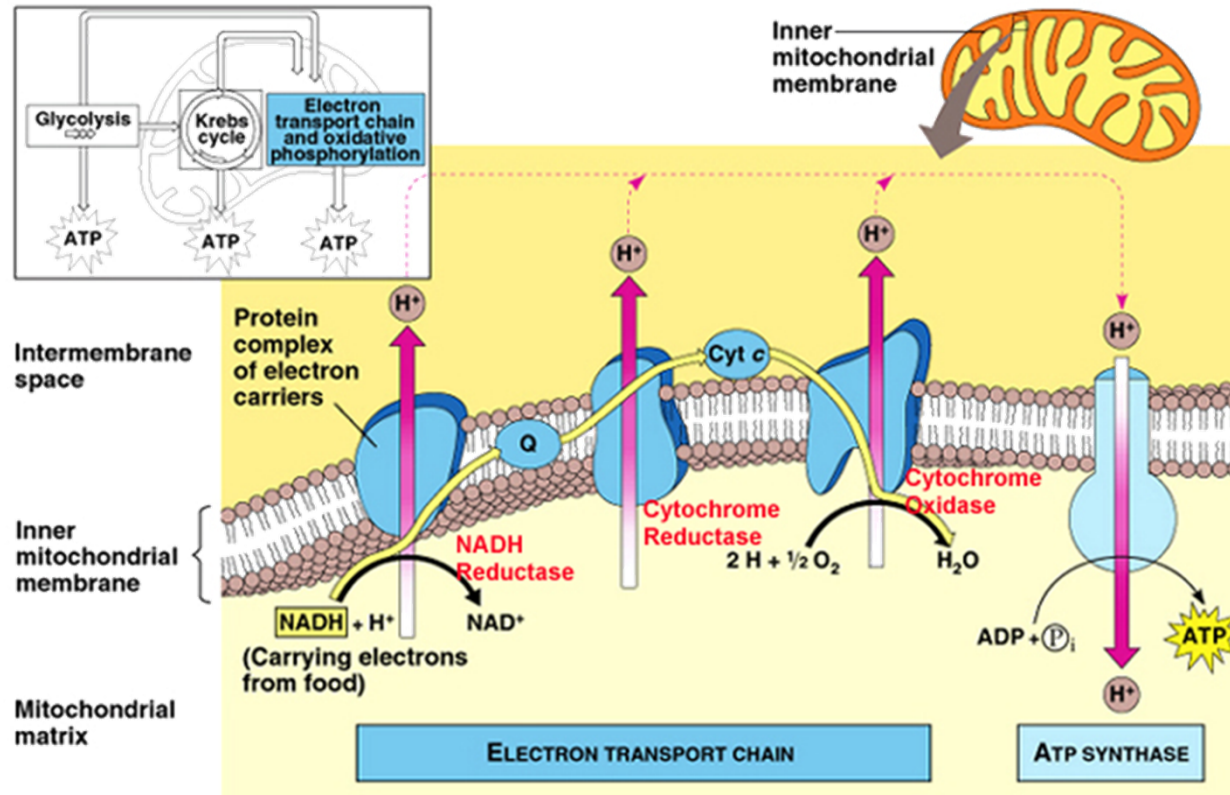
...no sólo los carbohidratos y lípidos aportan energía...

Catabolismo de aminoácidos



...todas las vías oxidativas (catabólicas) producen equivalentes de reducción en la forma de NADH (o FADH₂ → Coenzima Q)

→ Los equivalentes de reducción son usados para llevar a cabo la fosforilación oxidativa:



- La fosforilación oxidativa es el último paso de la respiración celular y ocurre enteramente en la mitocondria.
- En primer lugar, los compuestos de carbono se oxidan para producir equivalentes de reducción.
- Esta fuerza "electro-motriz" (EMF) se convierte en una fuerza "protón-motriz" (PMF).
- La conversión de EMF en PMF es llevada a cabo por tres bombas de protones: Complejos I, III y IV.
- La PMF se convierte en energía química (ATP) gracias al complejo V.

Fosforilación oxidativa

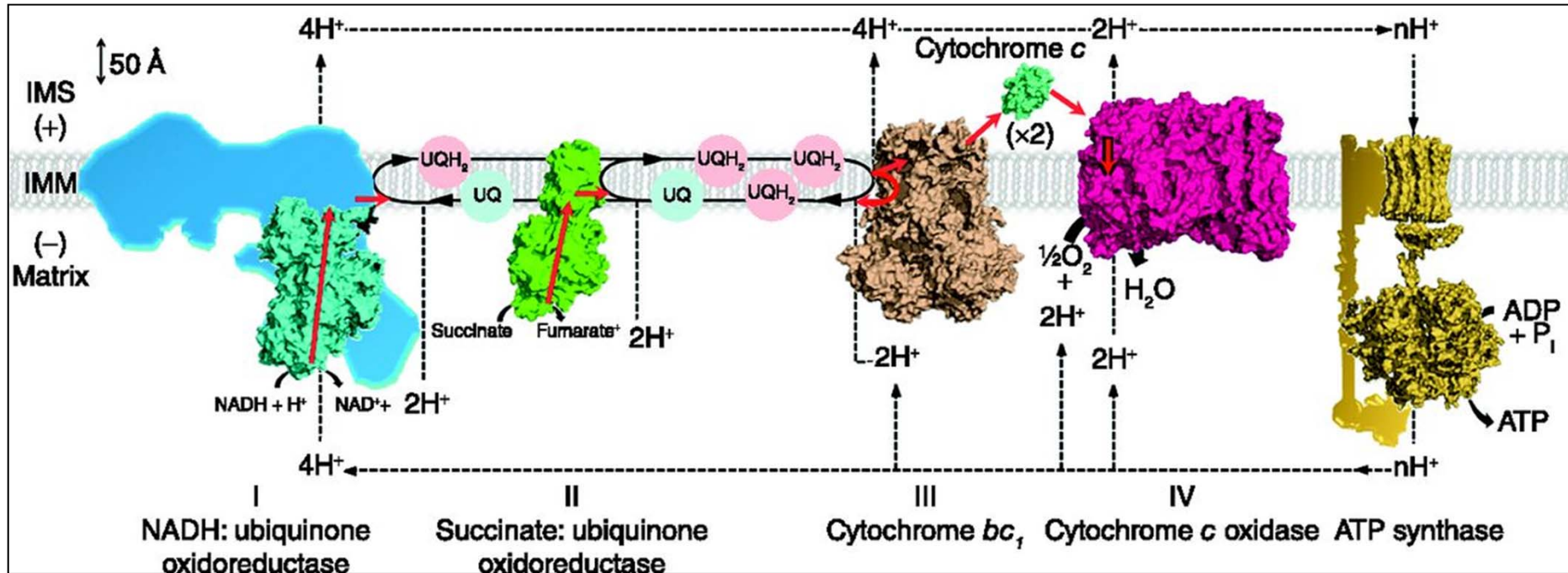
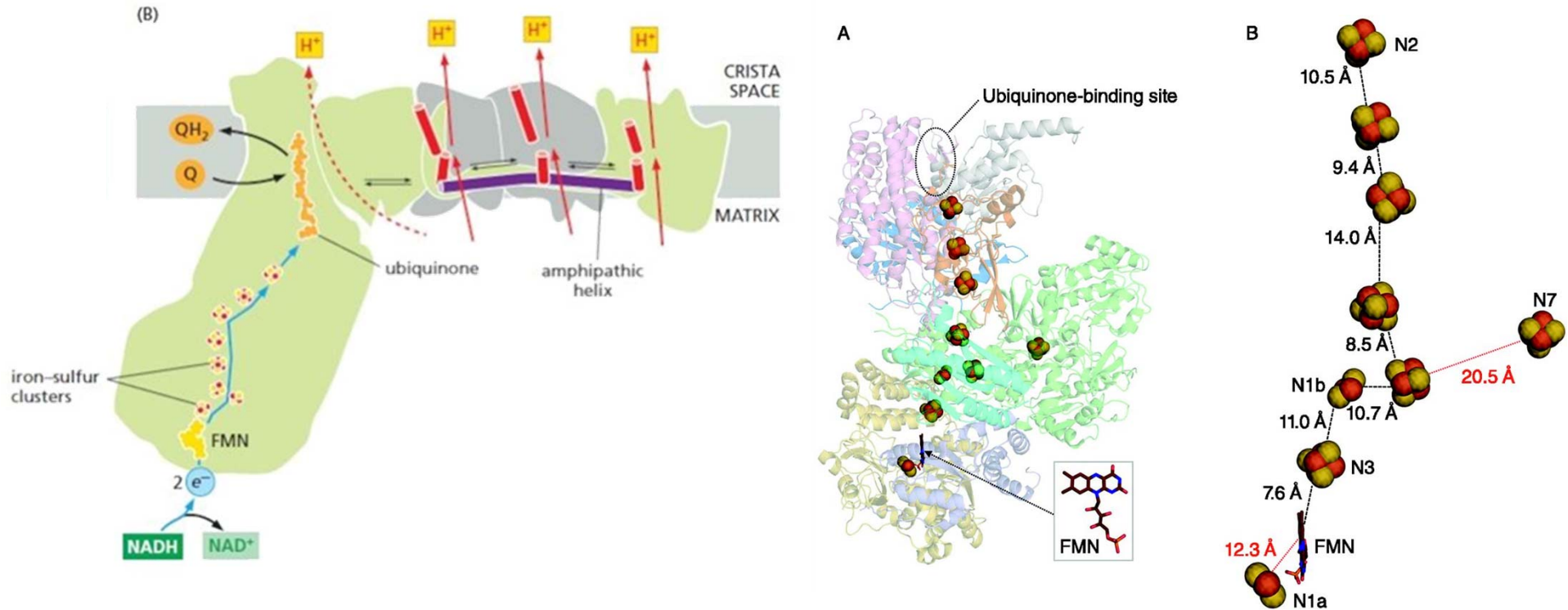
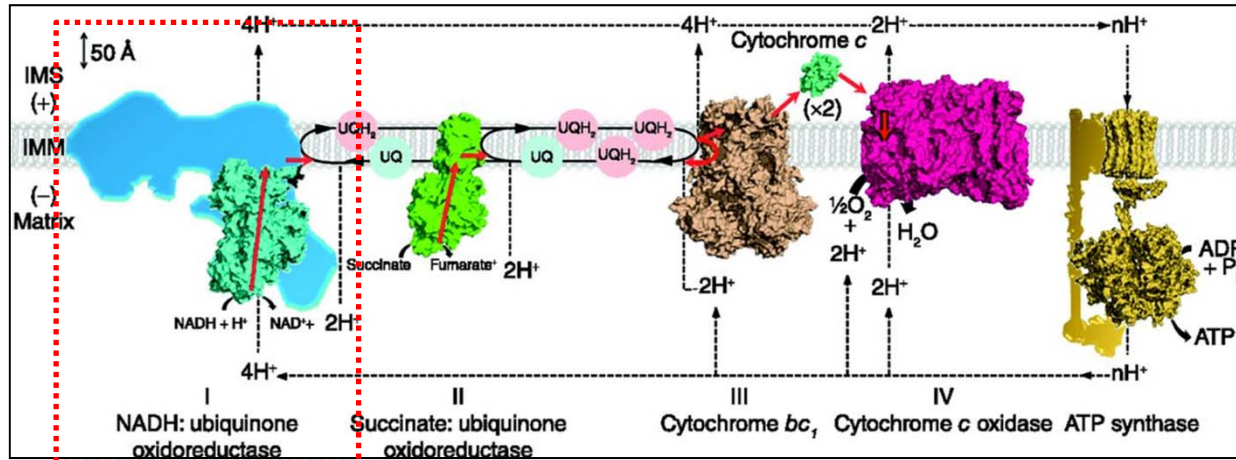


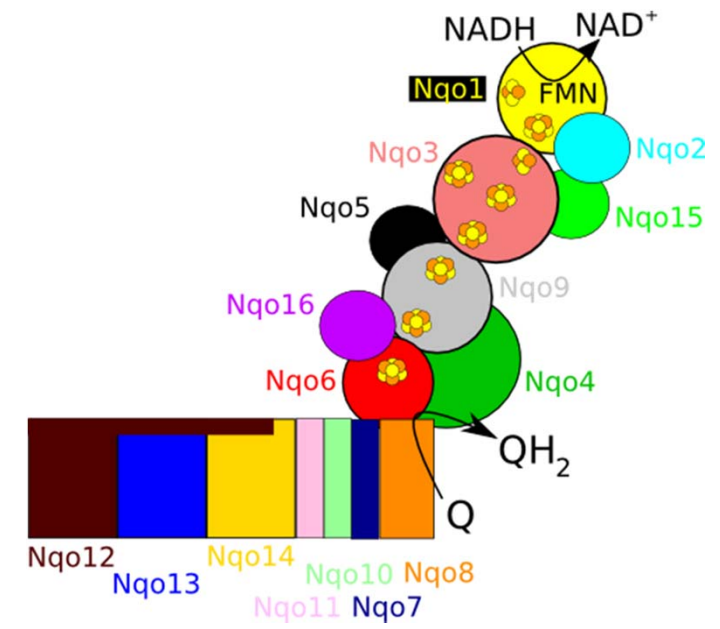
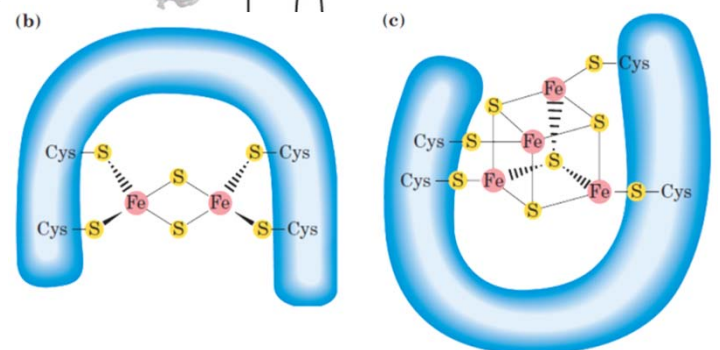
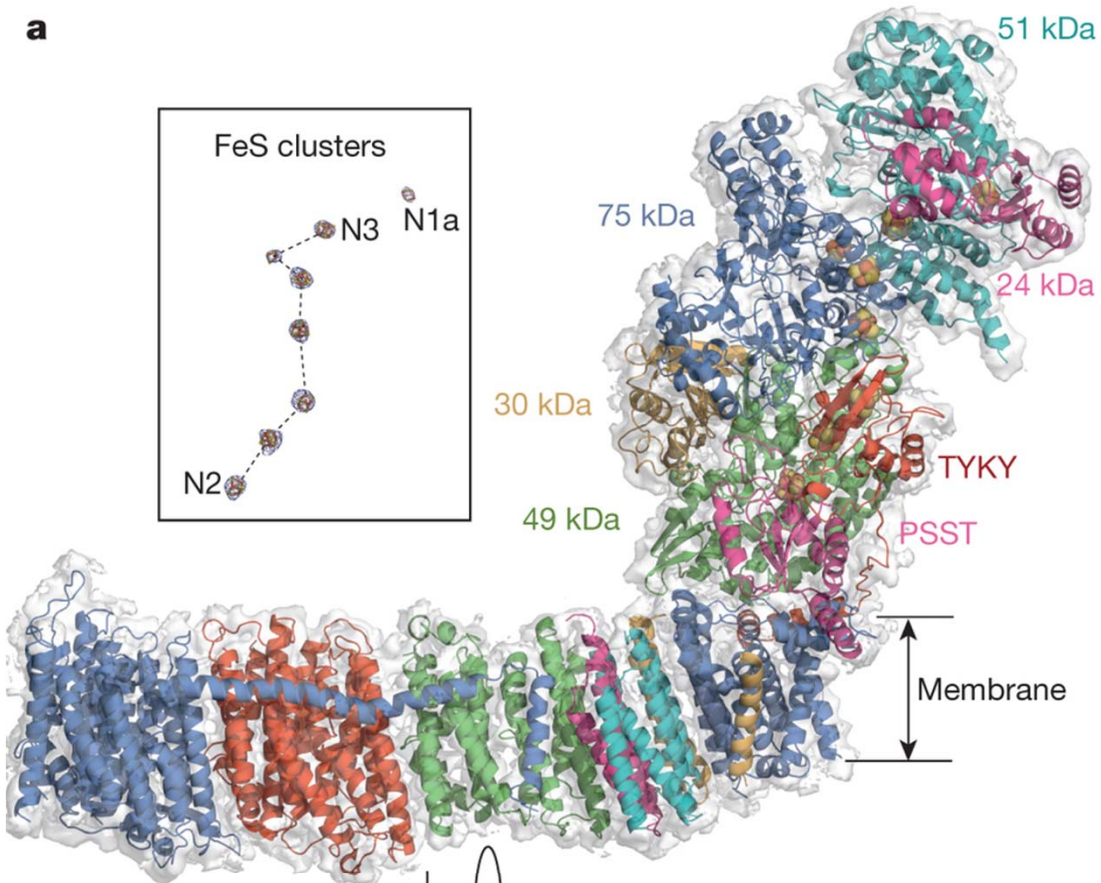
TABLE 19-3 The Protein Components of the Mitochondrial Electron-Transfer Chain

| Enzyme complex/protein | Mass (kDa) | Number of subunits* | Prosthetic group(s) |
|--|------------|---------------------|--|
| I NADH dehydrogenase | 850 | 43 (14) | FMN, Fe-S |
| II Succinate dehydrogenase | 140 | 4 | FAD, Fe-S |
| III Ubiquinone cytochrome c oxidoreductase | 250 | 11 | Hemes, Fe-S |
| Cytochrome c [†] | 13 | 1 | Heme |
| IV Cytochrome oxidase | 160 | 13 (3-4) | Hemes; Cu _A , Cu _B |

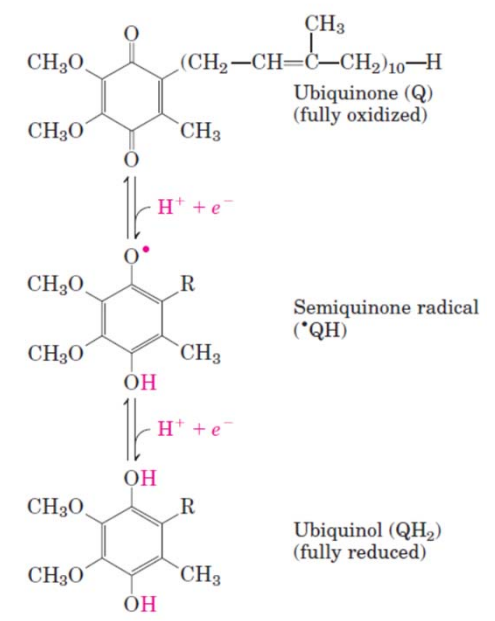
Complejo I: *NADH:UQ oxidoreductasa*



Complejo I: *NADH:UQ* oxidoreductasa

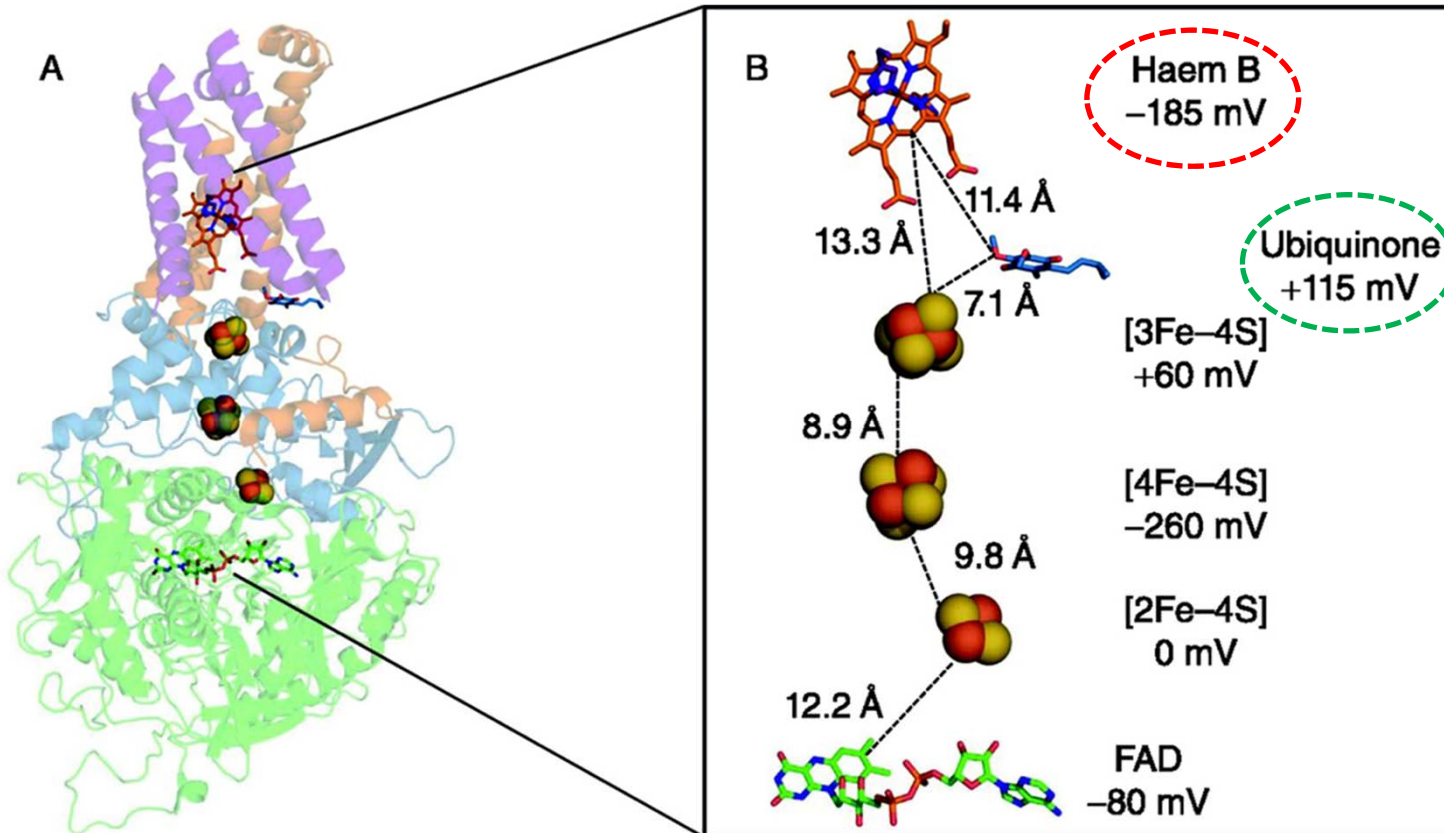
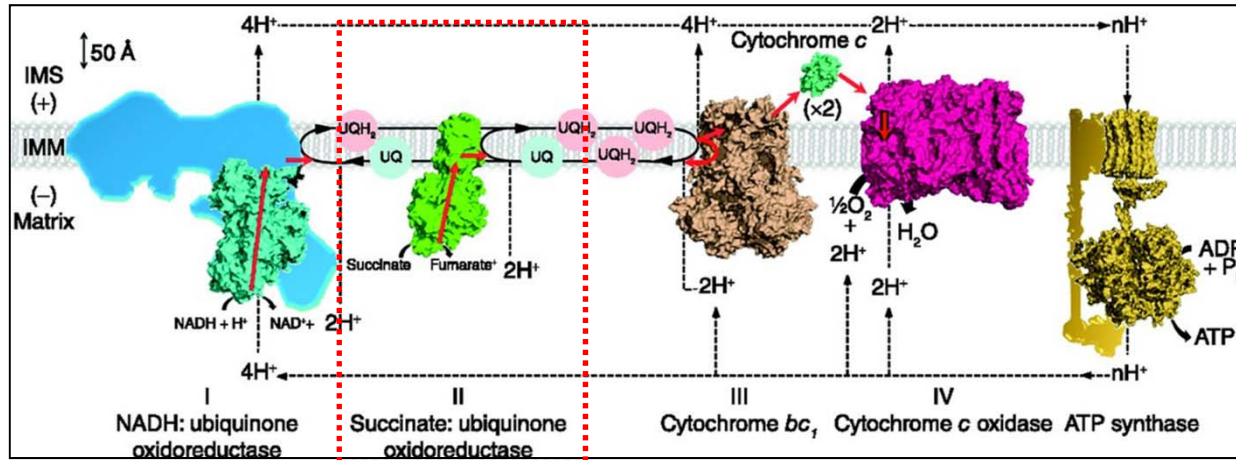


Reducción de UQ



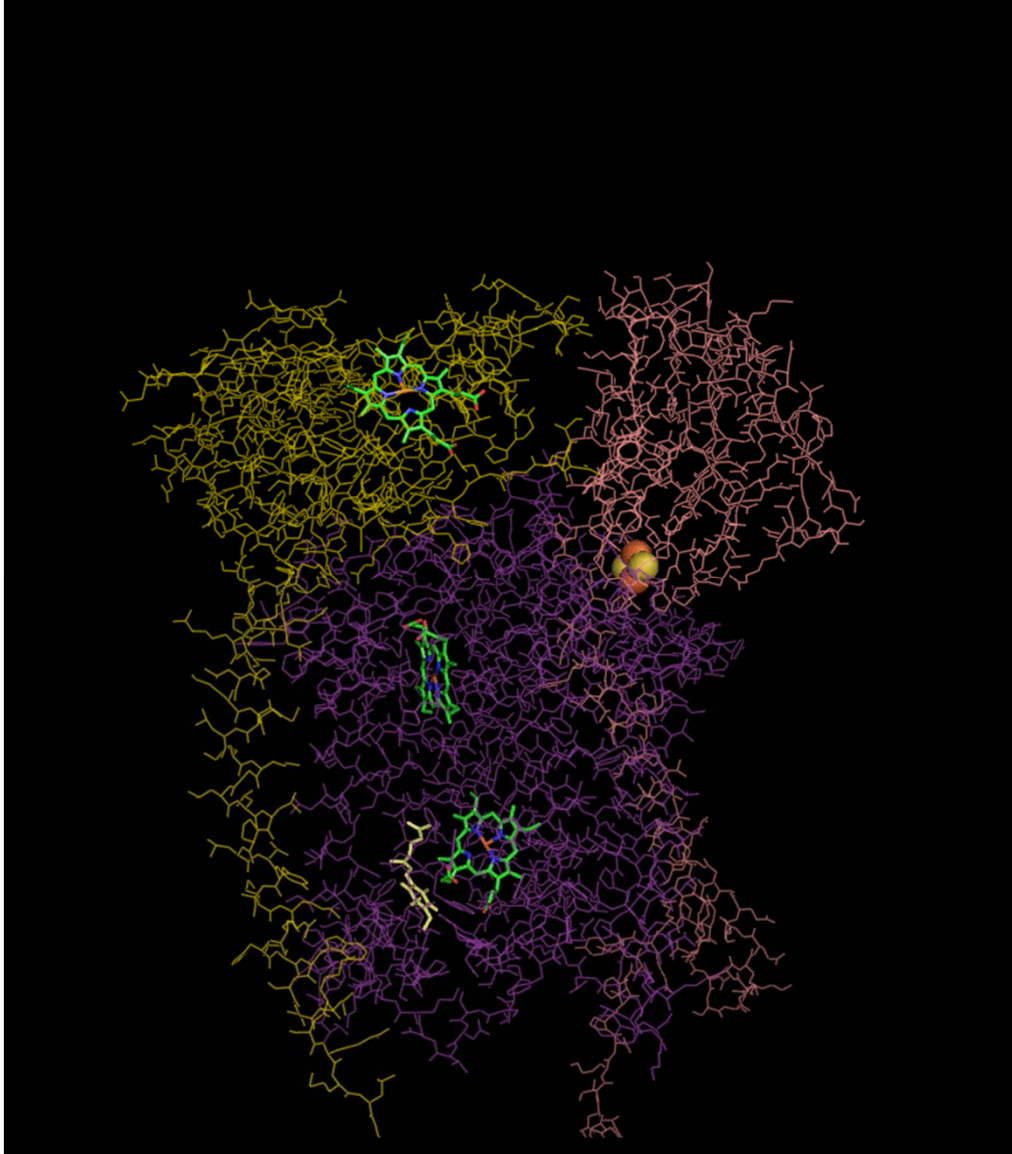
Ver → <https://www.youtube.com/watch?v=S9wAFVQ1k7E>

Complejo II: *succinato:UQ oxidoreductasa*



Complejo III: UQ: citocromo C oxidoreductasa → **Citocromo bc₁**

El ciclo-Q



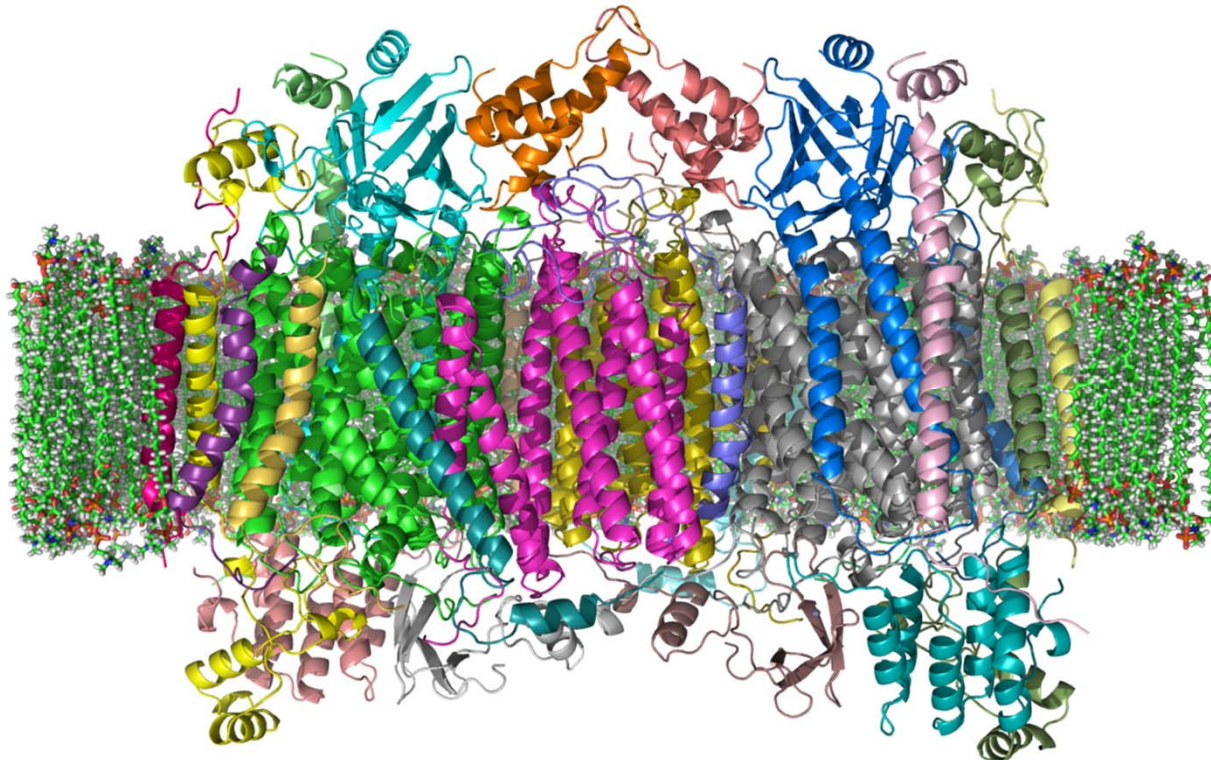
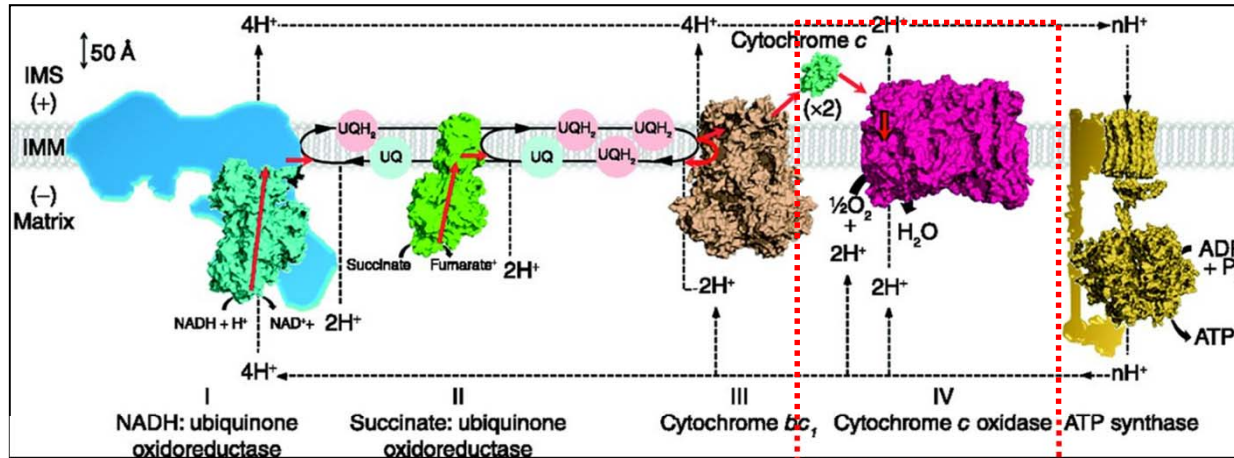
Primera ronda:

1. El citocromo *b* une una molécula de UQ y una de UQH₂.
2. El UQH₂ es completamente oxidado, 1 e⁻ para el 2Fe-2S y el otro para el hemo b_L, y 2H⁺ son translocados al espacio intermembrana.
3. El e⁻ del 2Fe-2S es transferido al citocromo c₁, mientras que el otro es transferido desde el grupo hemo b_L hacia el hemo b_H.
4. El citocromo c₁ transfiere su electrón hacia el [citocromo c](#) soluble (no confundir con el citocromo c1), y el hemo b_H transfiere su electrón hacia la UQ, resultando en la formación de una ubisemiquinona.
5. El citocromo c soluble se separa del complejo III. La primer molécula de UQH₂ (que ahora se ha oxidado a UQ) se libera, mientras que la semiquinona permanece unida.

Segunda ronda:

1. Un segundo UQH₂ se une al citocromo *b*.
2. Otra vez, el UQH₂ es completamente oxidado, 1 e⁻ para el 2Fe-2S y el otro para el hemo b_L, y 2H⁺ son translocados al espacio intermembrana.
3. Otra vez, el e⁻ del 2Fe-2S es transferido al citocromo c₁, mientras que el otro es transferido desde el grupo hemo b_L hacia el hemo b_H.
4. El citocromo c₁ transfiere su electrón hacia el [citocromo c](#) soluble, mientras que la ubisemiquinona recoge el segundo electrón del hemo b_H, junto con 2H⁺ de la matriz mitocondrial.
5. El segundo citocromo c soluble se separa del complejo III. La segunda molécula de UQH₂ (que ahora se ha oxidado a UQ) se libera, y el UQH₂ (antes semiquinona) también se libera.

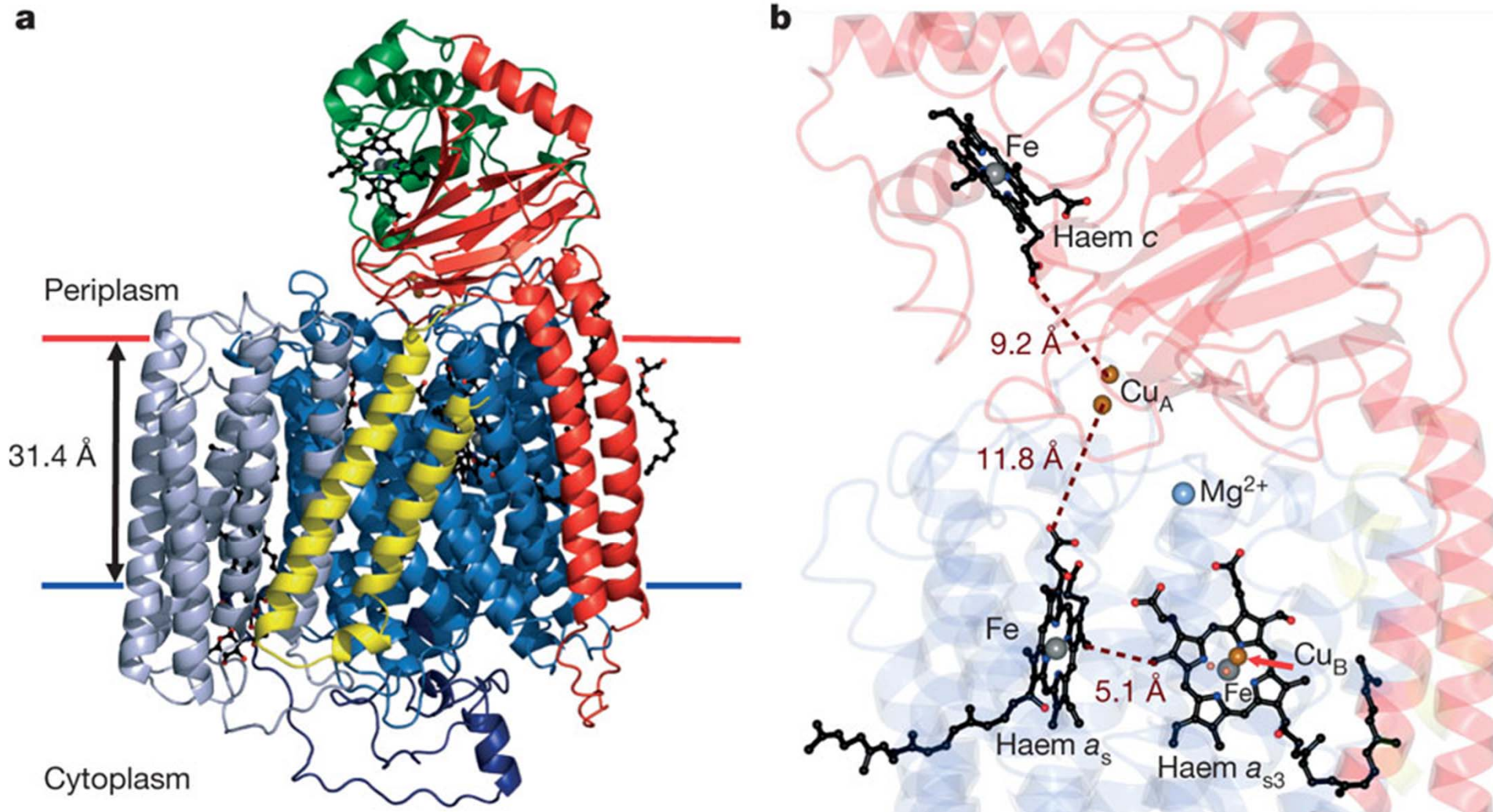
Complejo IV: citocromo: O_2 oxidoreductasa → **Citocromo c oxidasa**



Citocromo c oxidasa (tipo aa₃) de corazón de vaca (*Bos taurus*)

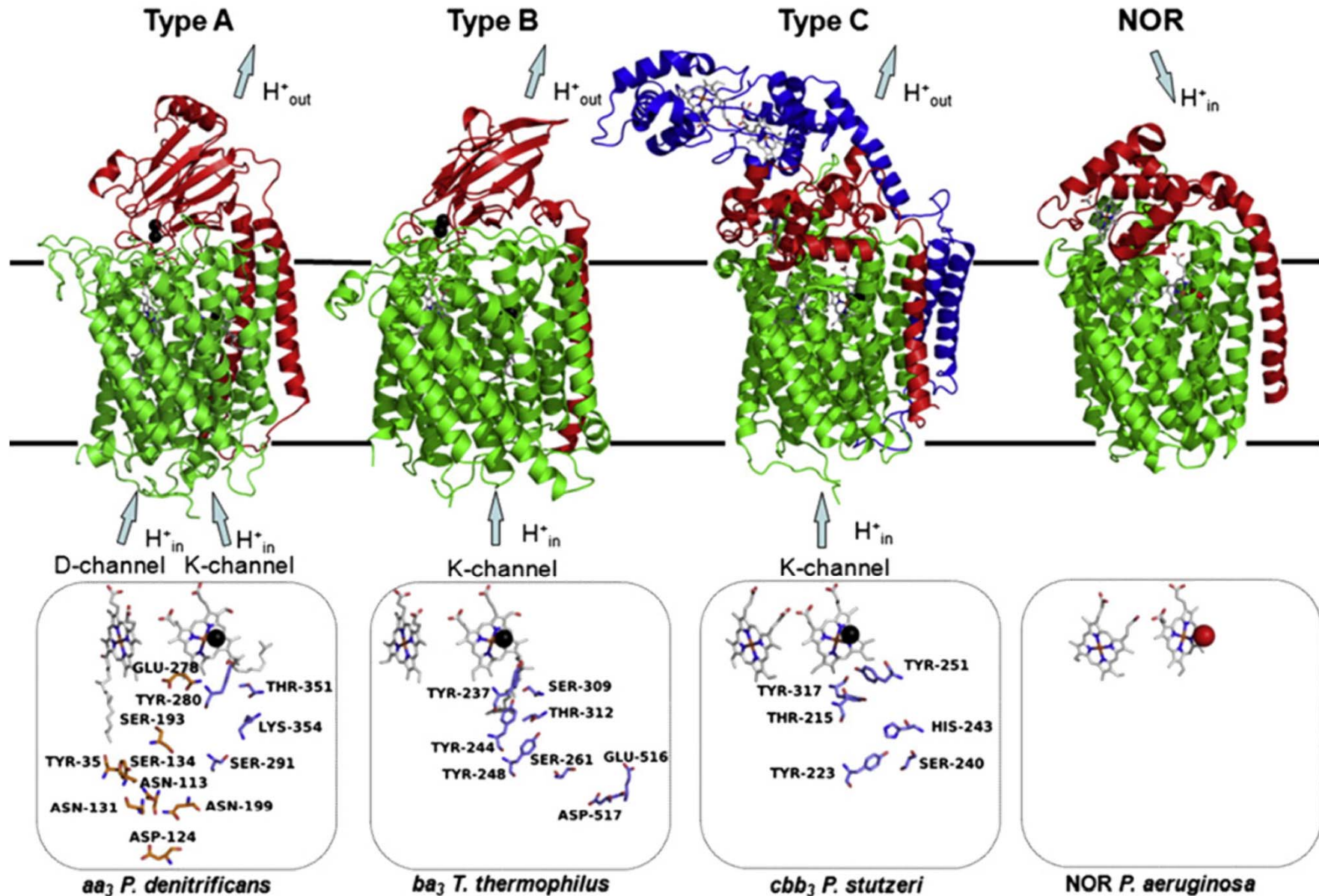
Complejo IV: citocromo: O_2 oxidoreductasa → **Citocromo c oxidasa**

Citocromo c oxidasa (tipo aa_3) de *P. denitrificans*

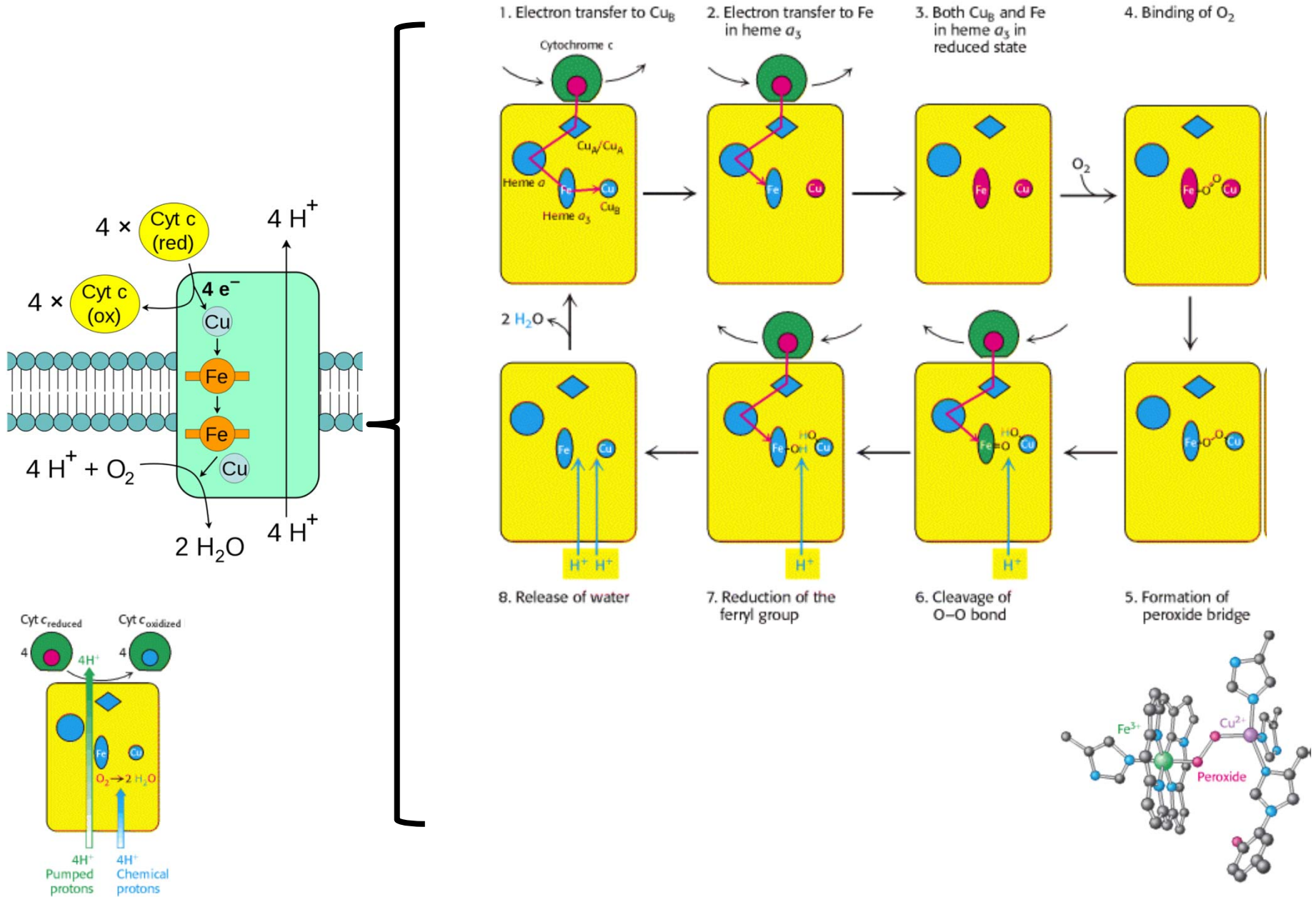


Complejo IV: citocromo: O_2 oxidoreductasa → **Citocromo c oxidasa**

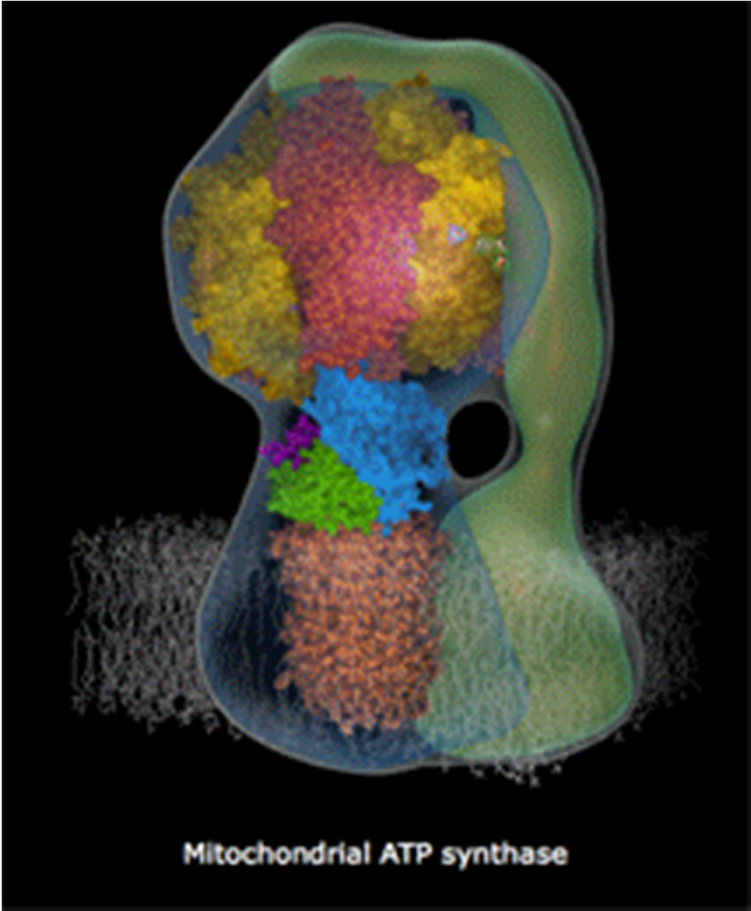
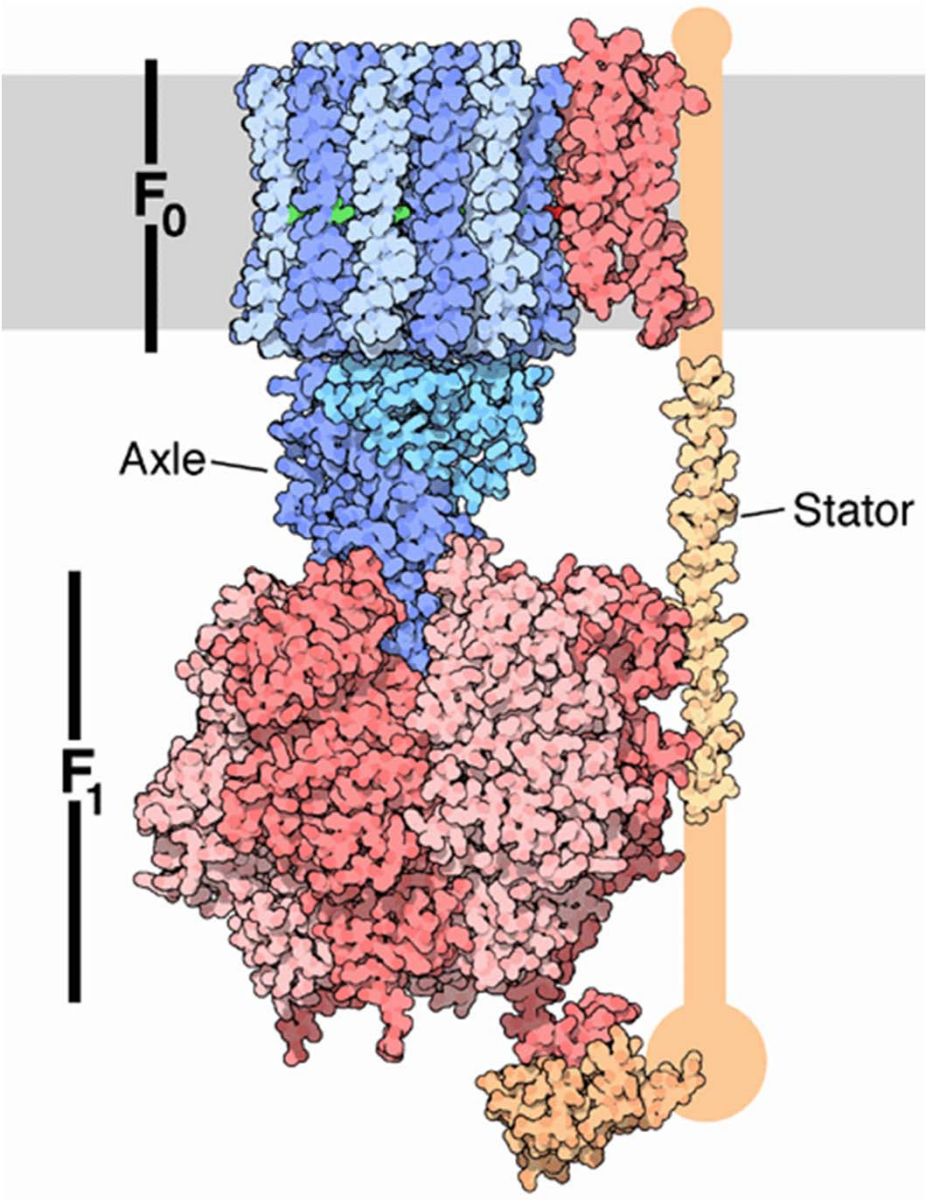
F.L. Sousa et al. / *Biochimica et Biophysica Acta* 1817 (2012) 629–637



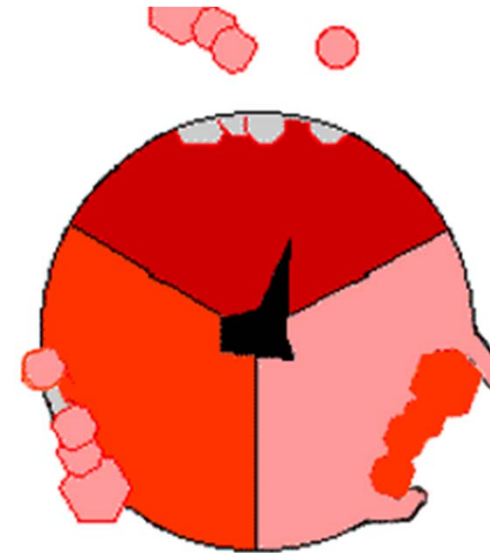
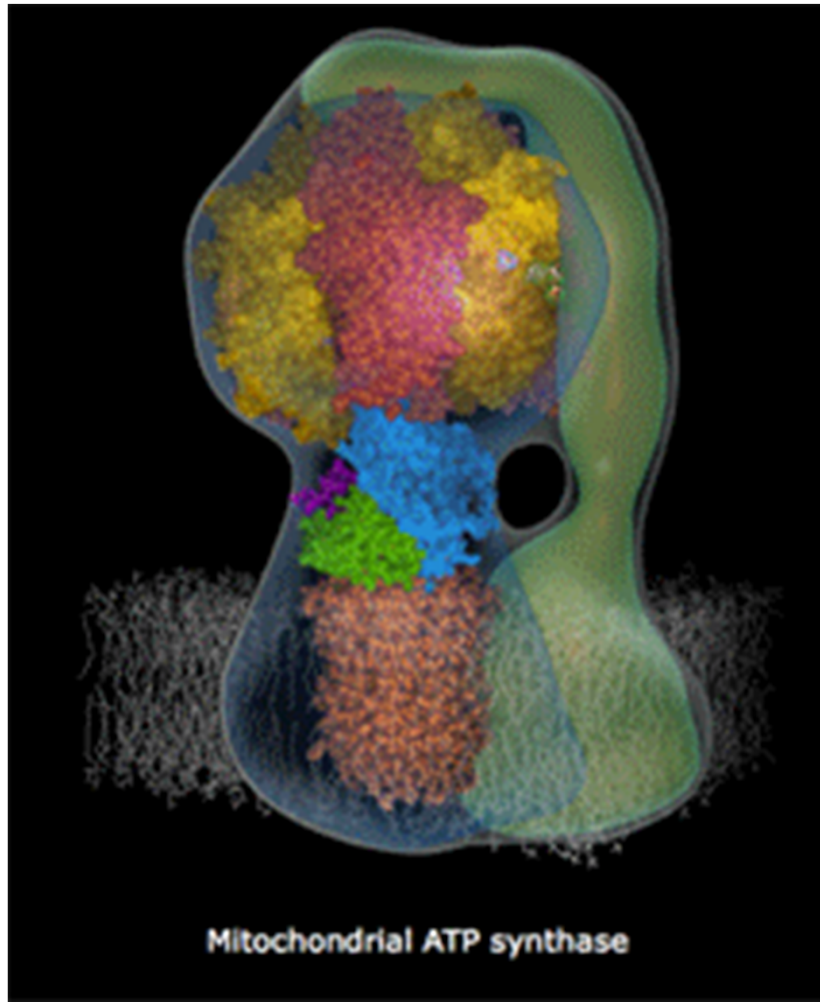
Complejo IV: citocromo: O_2 oxidoreductasa \rightarrow **Citocromo c oxidasa**



Complejo V: ATP sintetasa



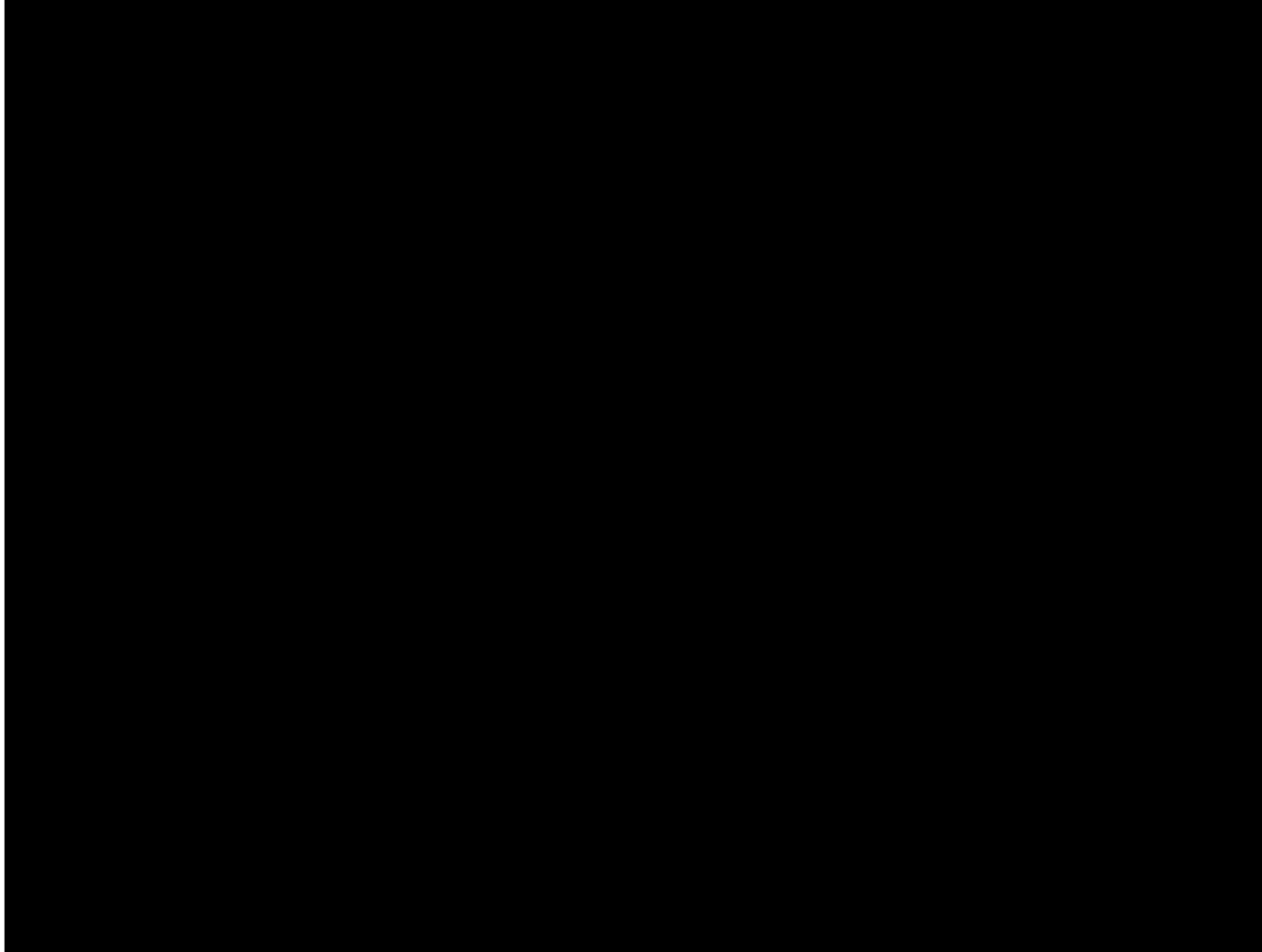
Complejo V: ATP sintetasa



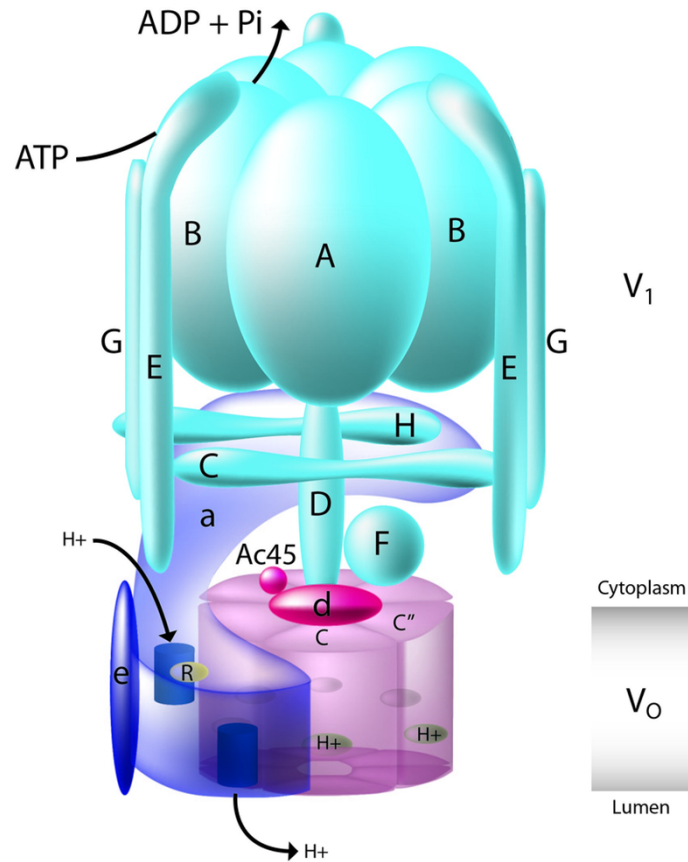
Mecanismo

- Cada color es el dimerio $\alpha\beta$ de la unidad F1
- Rojo \rightarrow abierto: ADP + Pi pueden entrar al sitio activo.
- Naranja \rightarrow Se cierra el sitio activo y se forma ATP.
- Rosa \rightarrow El ATP está listo para ser liberado.

Complejo V: *ATP sintetasa*

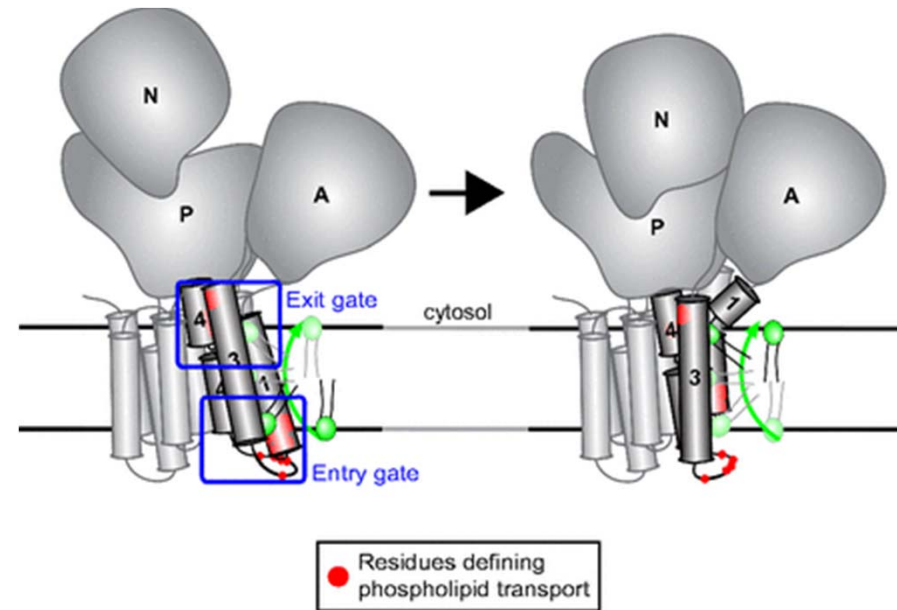


→ otros tipos de ATPasas



ATPasas tipo vacuolar

- Rol de V-ATPasas: acidificar organelas intracelulares / Bombear H^+ a través de la membrana citoplasmática de varias líneas celulares.
- Funcionamiento: hidrolizan ATP para bombear protones (opuesto a la ATP sintetasa).



ATPasas tipo P

- Rol de P-ATPasas: Bombear iones (H^+ , Na^+ , K^+) a través de la membrana citoplasmática de varias líneas celulares / Tipo IV: invierten fosfolipidos para mantener la simetría/forma de la célula.
- Funcionamiento: hidrolizan ATP para bombear iones (opuesto a la ATP sintetasa).

Fosforilación oxidativa

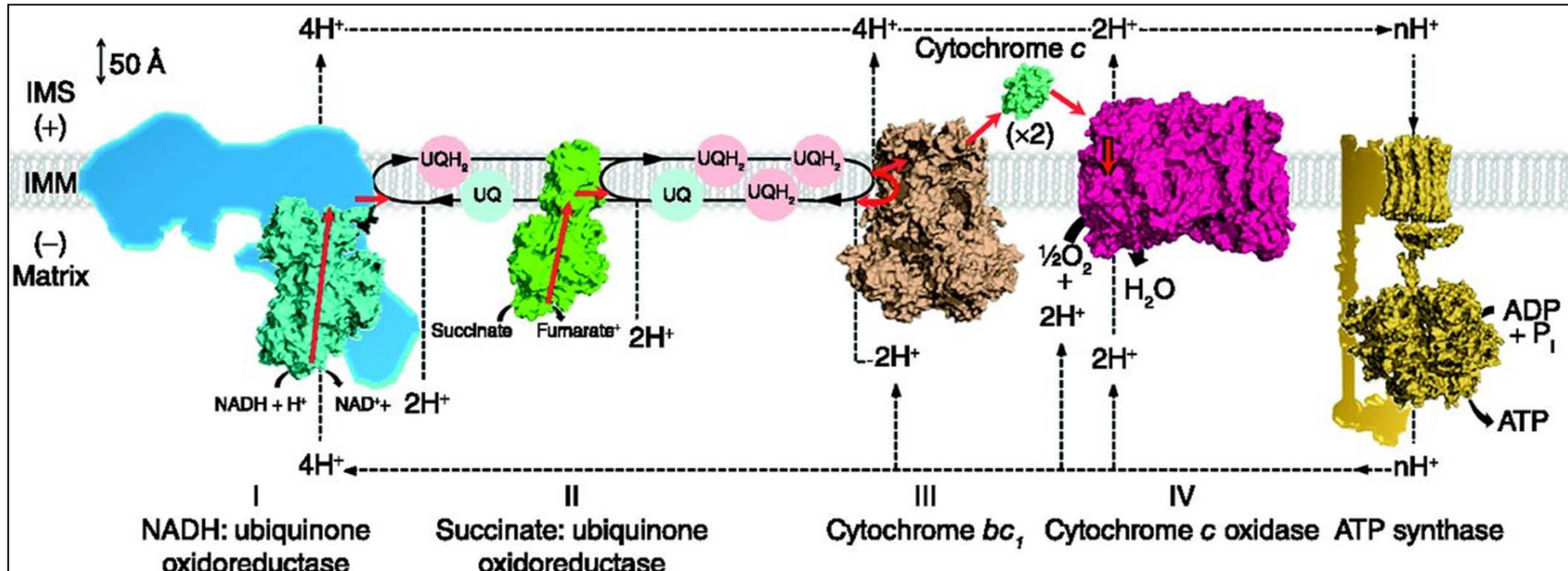
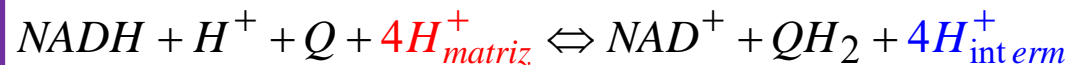
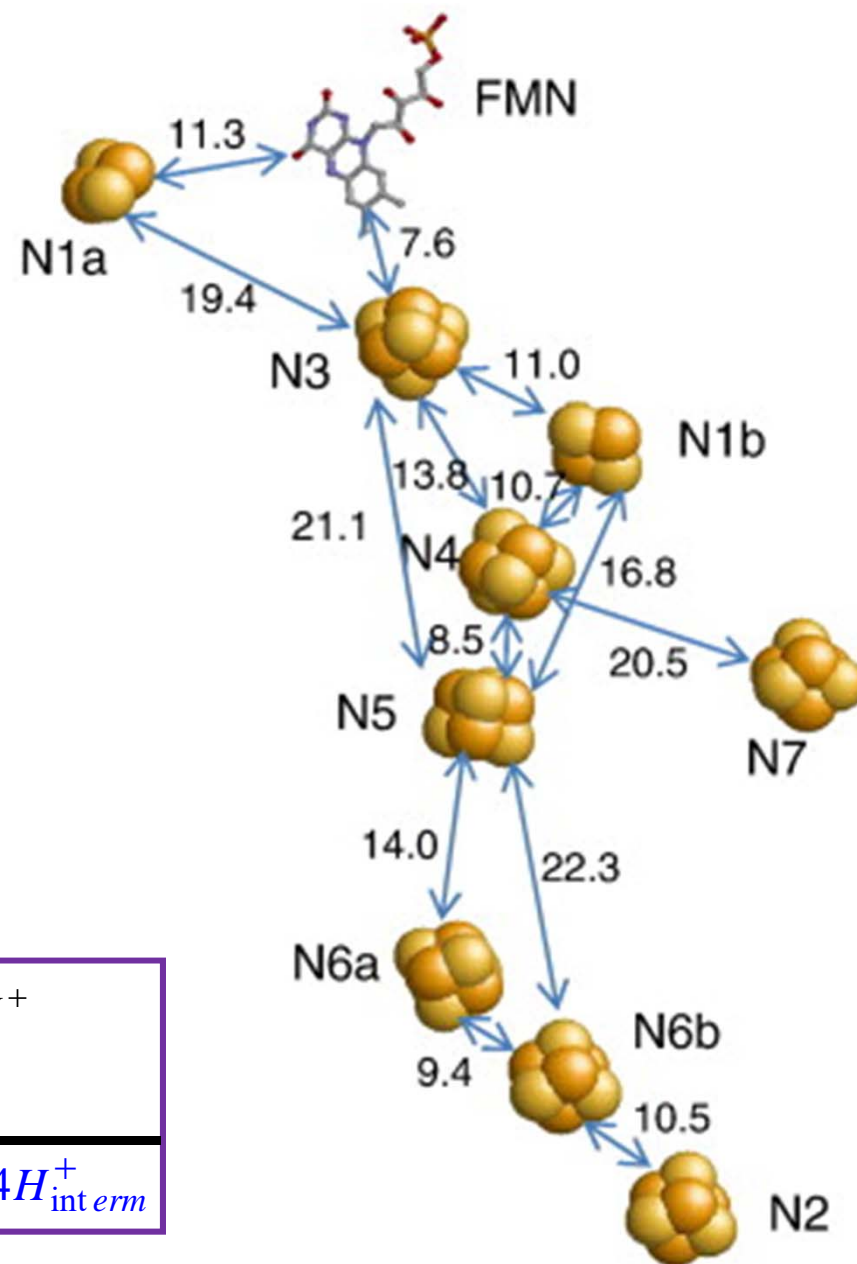


TABLE 19-3 The Protein Components of the Mitochondrial Electron-Transfer Chain

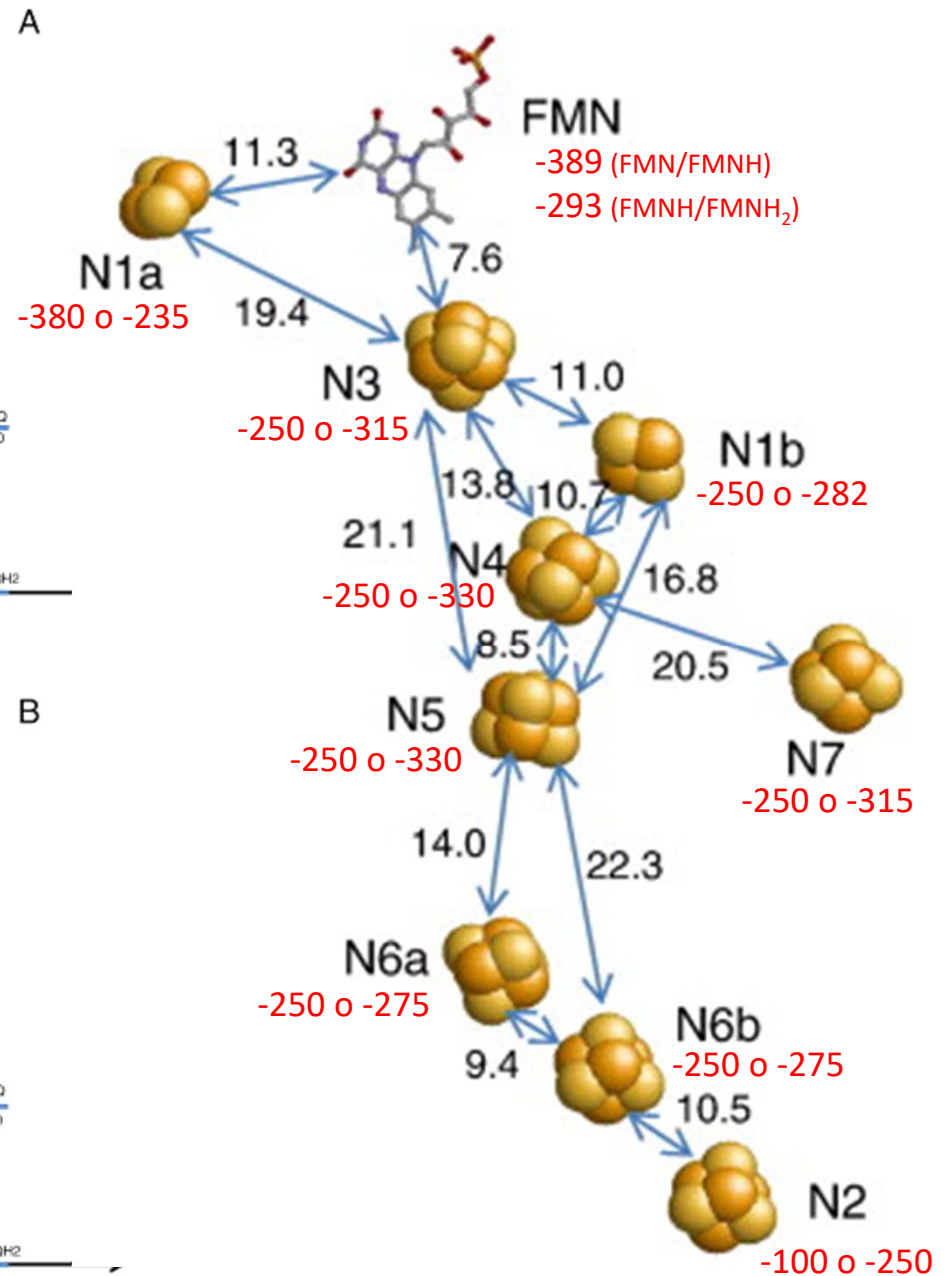
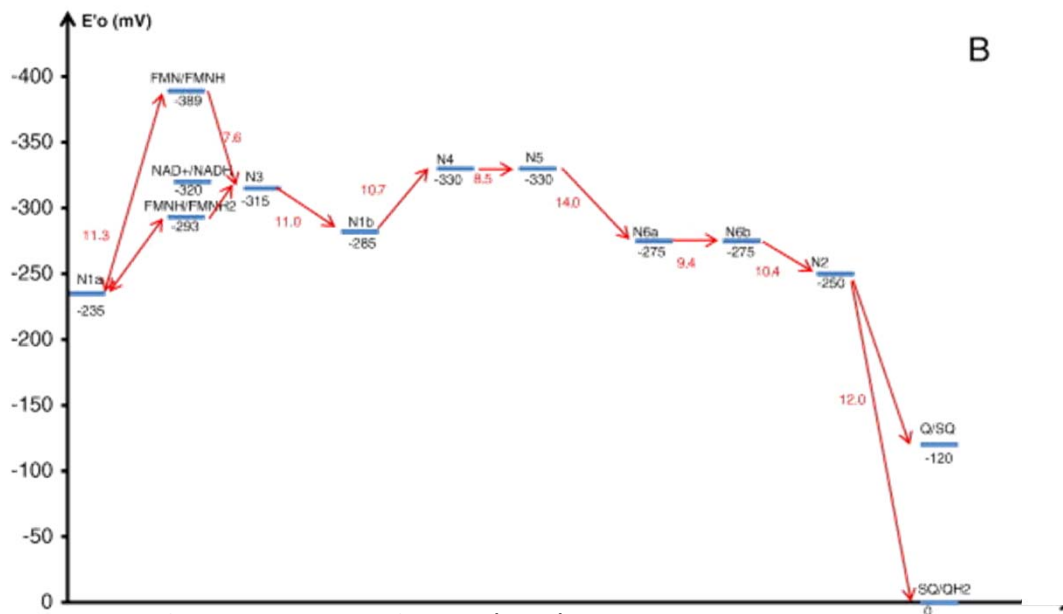
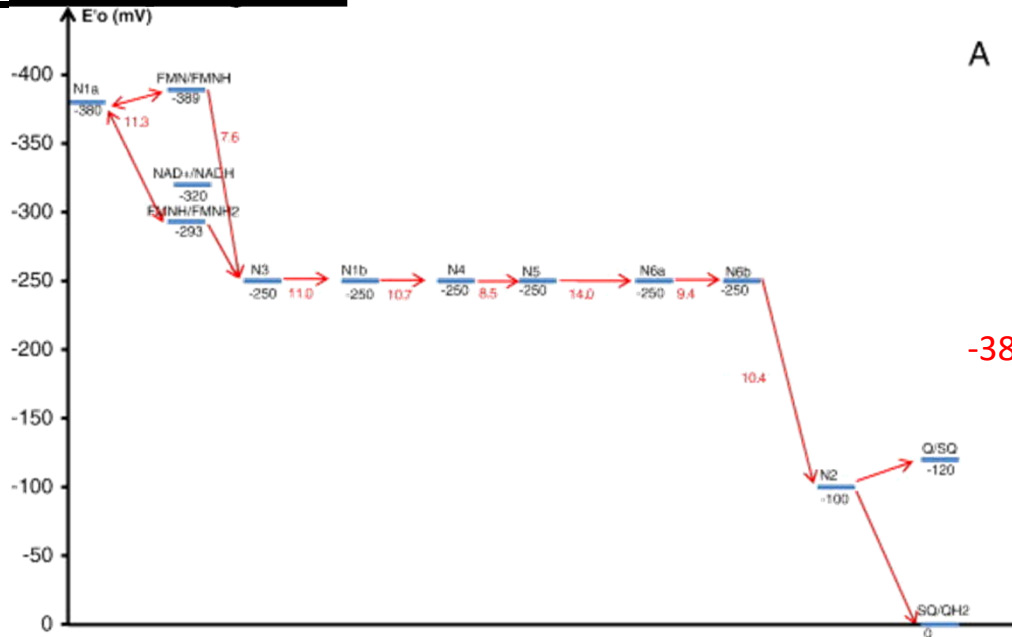
| Enzyme complex/protein | Mass (kDa) | Number of subunits* | Prosthetic group(s) |
|--|------------|---------------------|--|
| I NADH dehydrogenase | 850 | 43 (14) | FMN, Fe-S |
| II Succinate dehydrogenase | 140 | 4 | FAD, Fe-S |
| III Ubiquinone cytochrome c oxidoreductase | 250 | 11 | Hemes, Fe-S |
| Cytochrome c [†] | 13 | 1 | Heme |
| IV Cytochrome oxidase | 160 | 13 (3-4) | Hemes; Cu _A , Cu _B |

Complejo I: *NADH:UQ* oxidoreductasa

| Redox couple | E° [mV] from ref [34] | E° [mV] from ref [38] |
|--------------------------------------|---------------------------------|---------------------------------|
| NADH/NAD ⁺ | - 0.32 | - 0.32 |
| FMNH ₂ /FMNH [•] | - 0.293 | - 0.293 |
| FMNH [•] /FMN | - 0.389 | - 0.389 |
| QH ₂ /SQ [•] | 0 | 0 |
| SQ [•] /Q | - 0.12 | - 0.12 |
| N1a | - 0.38 | - 0.235 |
| N1b | - 0.25 | - 0.282 |
| N2 | - 0.10 | - 0.250 |
| N3 | - 0.25 | - 0.315 (N7?) |
| N4 | - 0.25 | - 0.330 (N5?) |
| N5 | - 0.25 | - 0.330 (N4?) |
| N6a | - 0.25 | - 0.275 |
| N6b | - 0.25 | - 0.275 |
| N7 | - 0.25 | - 0.315 (N3?) |

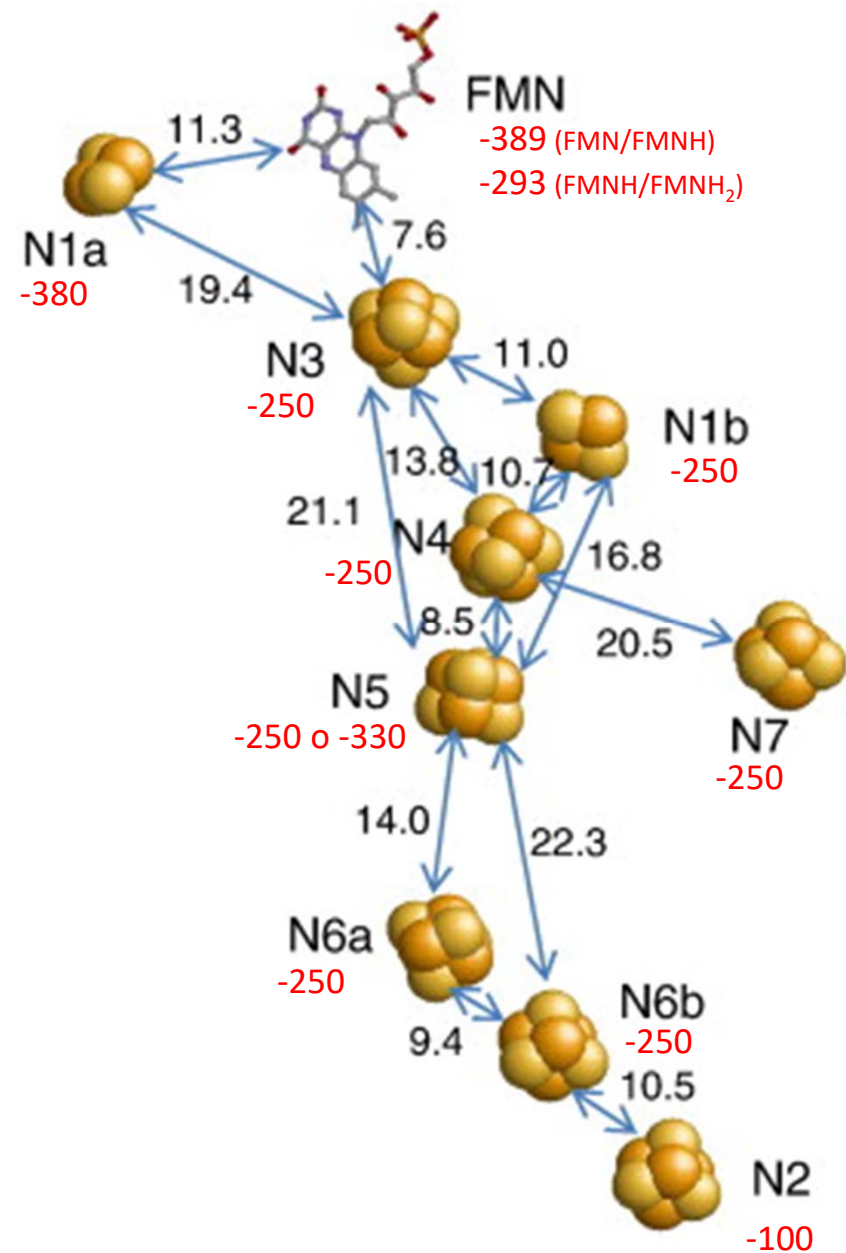


Complejo I: *NADH:UQ* oxidoreductasa



Complejo I: *NADH:UQ* oxidoreductasa

| Reactions | Distance (Å) | ΔG° (eV) | k_{forward} (s^{-1}) | k_{backward} (s^{-1}) |
|--------------------------|--------------|-----------------------|--|---|
| NADH to FMN | 3.2 | 0.02 | $1.44 \cdot 10^{12}$ | $3.10 \cdot 10^{12}$ |
| FMNH ₂ to N1a | 11.3 | 0.087 | $2.13 \cdot 10^5$ | $5.99 \cdot 10^6$ |
| FMNH• to N1a | 11.3 | -0.009 | $2.12 \cdot 10^6$ | $1.50 \cdot 10^6$ |
| FMNH ₂ to N3 | 7.6 | -0.043 | $5.25 \cdot 10^8$ | $1.01 \cdot 10^8$ |
| FMNH• to N3 | 7.6 | -0.139 | $1.73 \cdot 10^9$ | $8.35 \cdot 10^6$ |
| N3 to N1b | 11.0 | 0 | $2.81 \cdot 10^6$ | $2.81 \cdot 10^6$ |
| N3 to N4 | 13.8 | 0 | $6.19 \cdot 10^4$ | $6.19 \cdot 10^4$ |
| N1b to N4 | 10.7 | 0 | $4.23 \cdot 10^6$ | $4.23 \cdot 10^6$ |
| N1b to N5 | 16.8 | 0 | $1.04 \cdot 10^3$ | $1.04 \cdot 10^3$ |
| N4 to N5 | 8.5 | 0 | $8.50 \cdot 10^7$ | $8.50 \cdot 10^7$ |
| N5 to N6a | 14.0 | 0 | $4.71 \cdot 10^4$ | $4.71 \cdot 10^4$ |
| N6a to N6b | 9.4 | 0 | $2.49 \cdot 10^7$ | $2.49 \cdot 10^7$ |
| N6b to N2 | 10.5 | 0 | $1.36 \cdot 10^5$ | $1.36 \cdot 10^5$ |
| N1a to N3 | 19.4 | -0.13 | 161 | 1.10 |
| N4 to N7 | 20.4 | 0 | 7.66 | 7.66 |
| N3 to N5 | 21.1 | 0 | 2.95 | 2.95 |
| N5 to N6b | 22.3 | 0 | 0.575 | 0.575 |
| N2 to Q | 12 | 0.02 | $4.43 \cdot 10^5$ | $9.54 \cdot 10^5$ |
| N2 to SQ• | 12 | -0.10 | $2.71 \cdot 10^6$ | $5.84 \cdot 10^4$ |
| NADH binding | | | $4.0 \cdot 10^8 \text{ M}^{-1}$ | 100 |
| NAD ⁺ binding | | | $1.0 \cdot 10^7 \text{ M}^{-1}$ | 1000 |
| Q binding | | | $4.0 \cdot 10^7 \text{ M}^{-1}$ | 100 |
| SQ• binding | | | $2.0 \cdot 10^7 \text{ M}^{-1}$ | 100 |
| QH ₂ binding | | | $2.0 \cdot 10^7 \text{ M}^{-1}$ | 1000 |



Complejo I: *NADH:UQ* oxidoreductasa

➤ Completar para el set de valores #2:

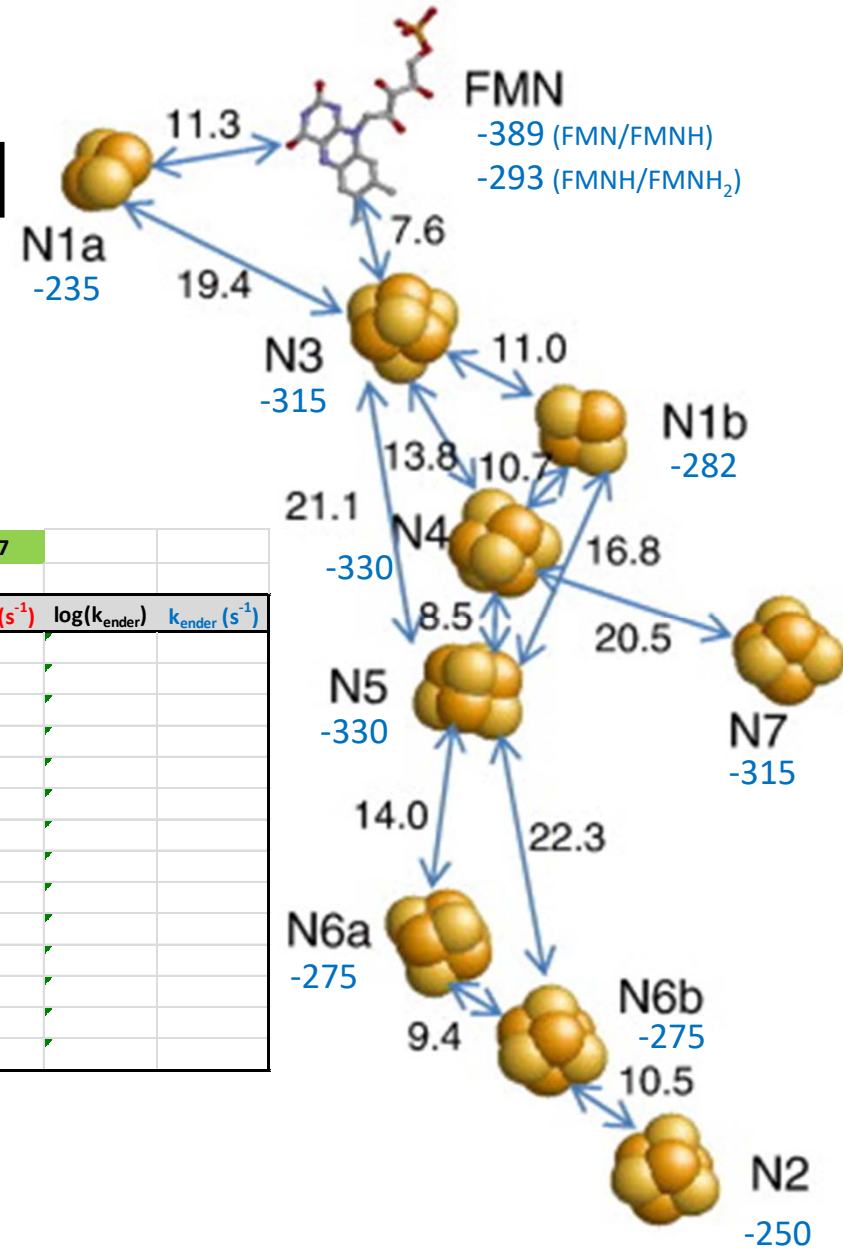
→ Tener en cuenta que:

$$1.6 \times 10^{-19} \text{ [J]} = 1 \text{ [eV]}$$

$$F = 96485 \text{ C/mol}$$

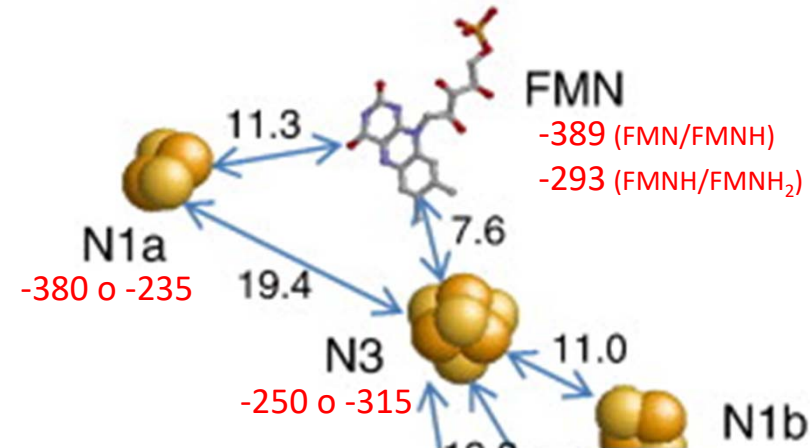
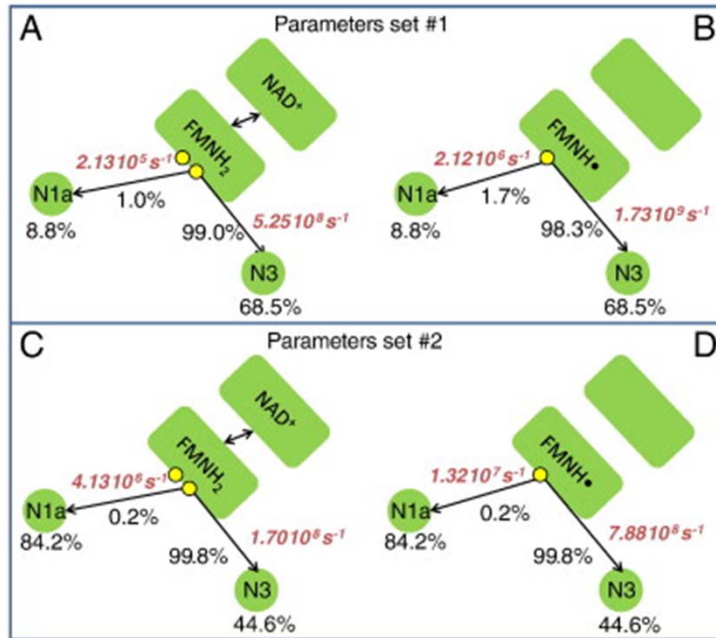
$$\Delta G = -nFE_{\text{Cell}}$$

$$\Delta G [\text{eV}] = n \cdot E_{\text{Cell}} [\text{V}]$$



| Reacciones invertidas para poder calcular correctamente la k_{exer} | | | | lambda: | 0.7 | | | | |
|--|-------------------------|--------------------|-------------------|-------------|-------|-------------------------|-----------------------------------|--------------------------|------------------------------------|
| COMPLEX I | Tunneling between | $-E_m$ Donador (V) | E_m Aceptor (V) | deltaG (eV) | R (A) | $\log(k_{\text{exer}})$ | $k_{\text{exer}} (\text{s}^{-1})$ | $\log(k_{\text{ender}})$ | $k_{\text{ender}} (\text{s}^{-1})$ |
| | FMNH ₂ / N1a | 0.293 | -0.235 | | | | | | |
| | FMNH· / N1a | 0.389 | -0.235 | | | | | | |
| | FMNH ₂ / N3 | 0.293 | 0.315 | | | | | | |
| | FMNH· / N3 | 0.389 | -0.315 | | | | | | |
| | N3 / N1a | 0.315 | -0.235 | | | | | | |
| | N3 / N1b | 0.315 | -0.282 | | | | | | |
| | N4 / N3 | 0.33 | -0.315 | | | | | | |
| | N4 / N1b | 0.33 | -0.282 | | | | | | |
| | N4 / N5 | 0.33 | -0.33 | | | | | | |
| | N4 / N7 | 0.33 | -0.315 | | | | | | |
| | N5 / N6a | 0.33 | -0.275 | | | | | | |
| N5 / N6b | 0.33 | -0.275 | | | | | | | |
| N6a / N6b | 0.275 | -0.275 | | | | | | | |
| N6b / N2 | 0.275 | -0.25 | | | | | | | |

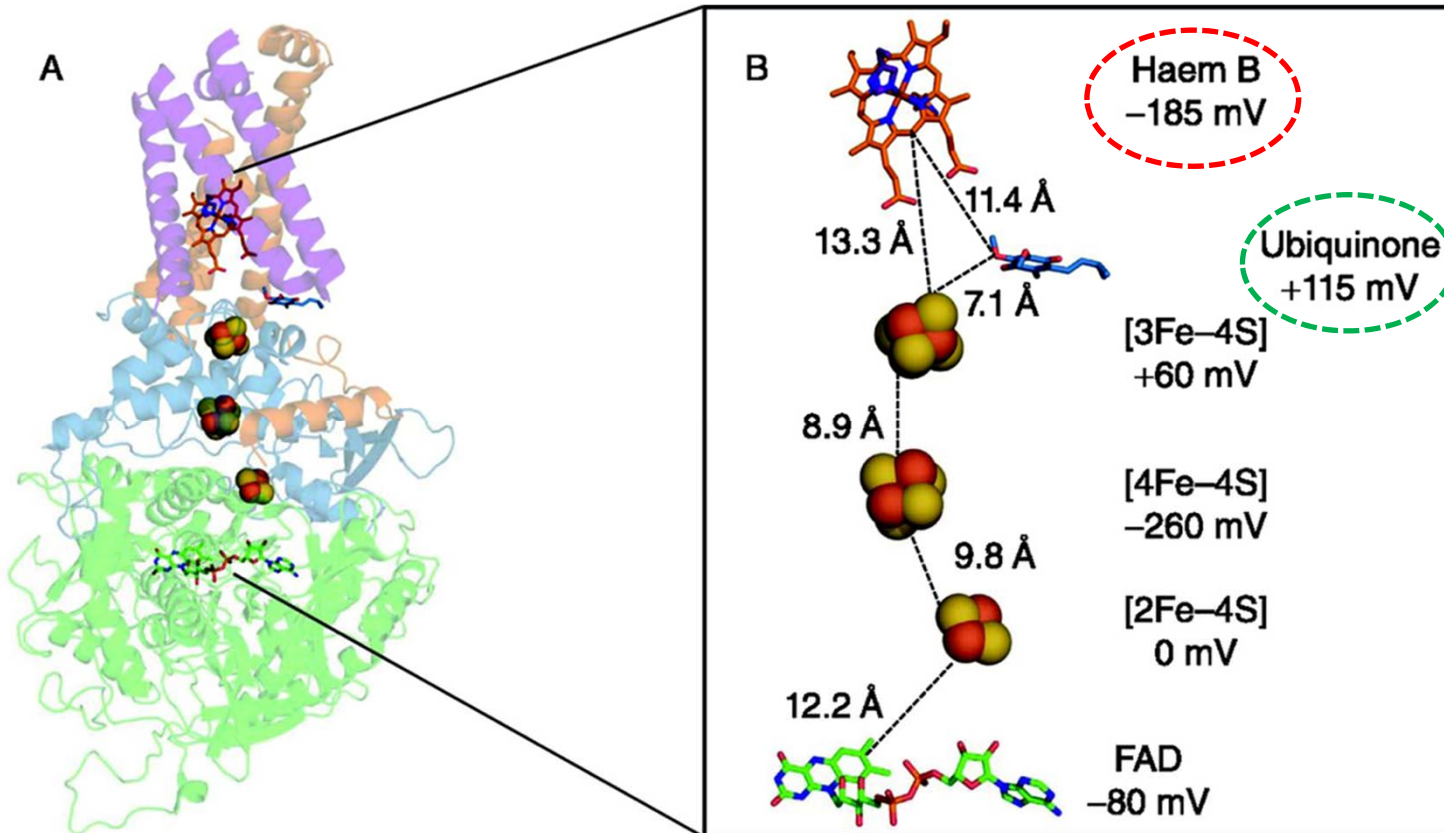
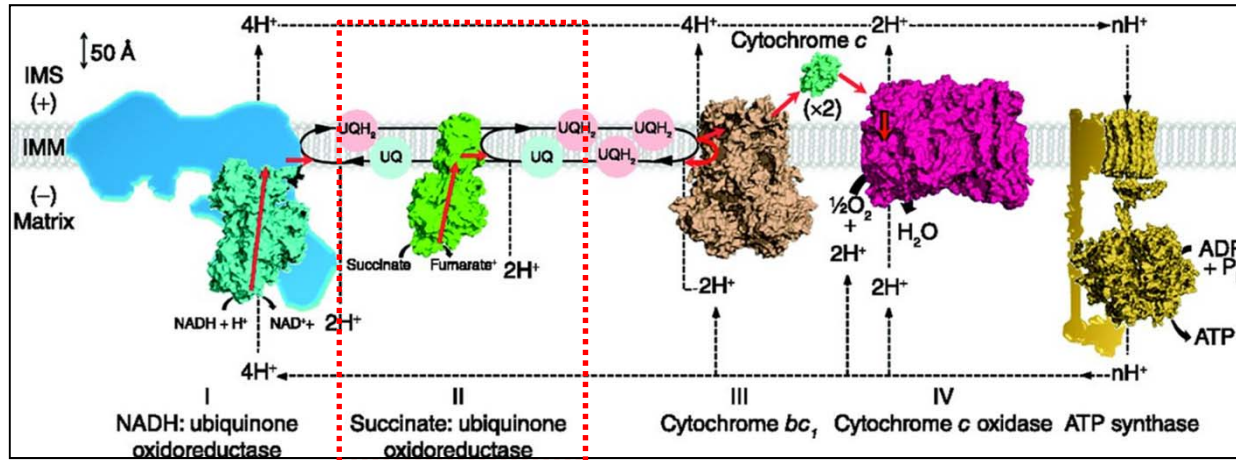
Complejo I: NADH:UQ oxidoreductasa



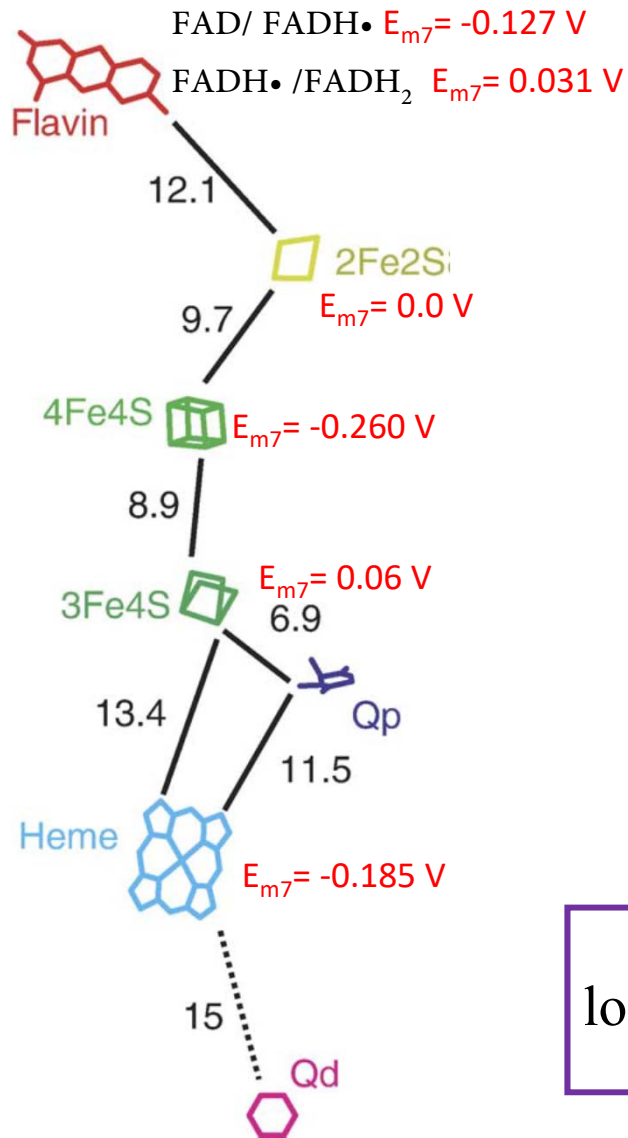
→ Los cálculos permiten ver que:

- FMNH₂ transfiere e⁻ a N3.
- FMNH• no es estable → transfiere e⁻ a N1a inmediatamente.
- El e⁻ en N1a no está atrapado. Cuando la próxima molécula de FMNH₂ transfiera 1e⁻ a N3, N1a la reduce de FMNH• a FMNH₂ al instante.
- Así se evitaría que el estado flavosemiquinona (FMNH•) reaccione con O₂ generando ROS.

Complejo II: *succinato:UQ oxidoreductasa*



Complejo II: succinato:UQ oxidoreductasa



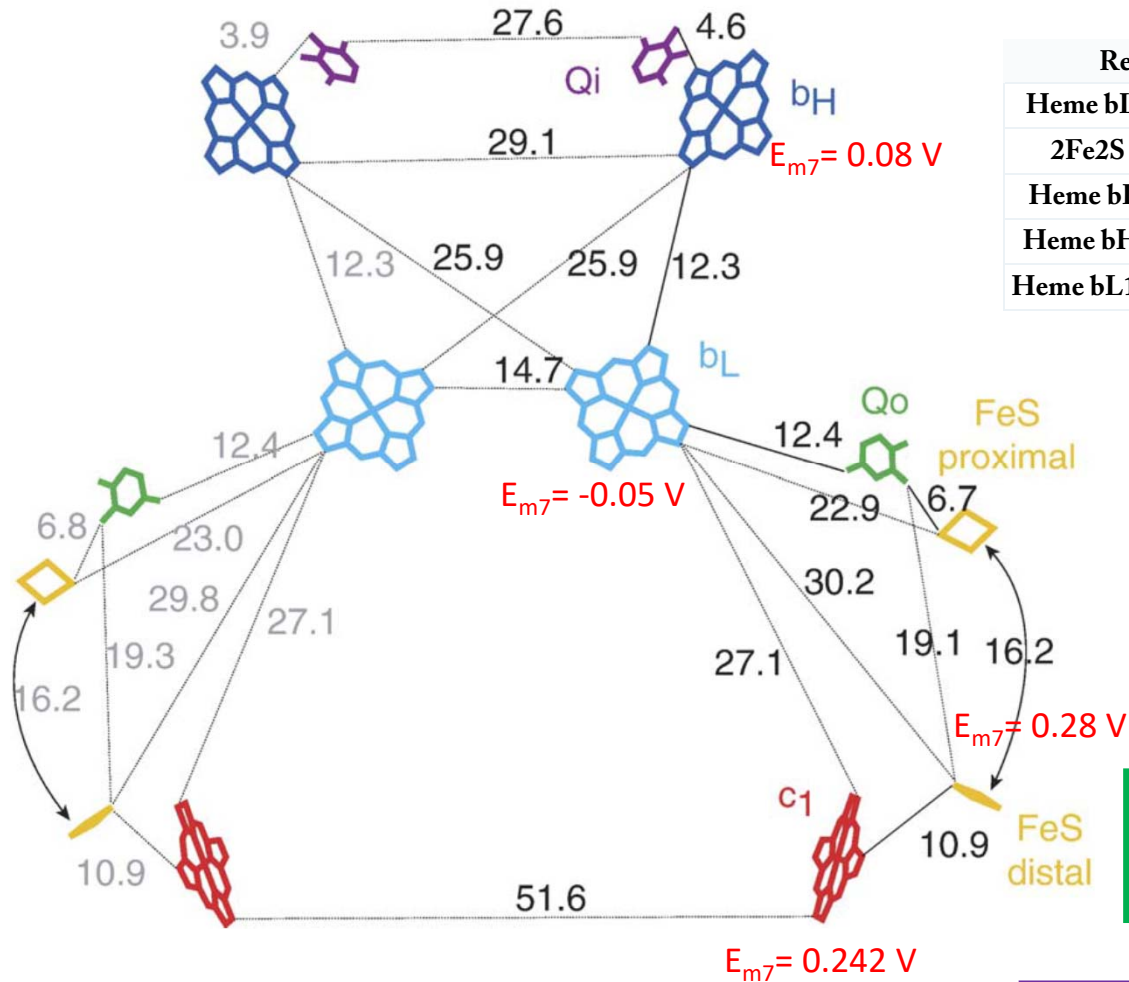
| Reactions | Distance (Å) | ΔG° (eV) | k_{forward} (s ⁻¹) | k_{backward} (s ⁻¹) |
|--|--------------|-----------------------|---|--|
| FADH ₂ to 2Fe ₂ S | 12.1 | | | |
| FADH• to 2Fe ₂ S | 12.1 | | | |
| 2Fe ₂ S to 4Fe ₄ S | 9.7 | | | |
| 4Fe ₄ S to 3Fe ₄ S | 8.9 | | | |
| 3Fe ₄ S to Heme | 13.4 | | | |

$$\Delta G [eV] = -n \cdot E_{\text{Cell}} [V]$$

$$\log(k_{ET}^{exer}) = 15 - 0.6R - 3.1 \frac{(\Delta G + 0.7)^2}{0.7}$$

$$\log(k_{ET}^{ender}) = 15 - 0.6R - 3.1 \frac{(\Delta G + \lambda)^2}{\lambda} + \frac{\Delta G}{0.06}$$

Complejo III: *UQ:citocromo C oxidoreductasa* → *Citocromo bc₁*



| Reactions | Distance (Å) | ΔG° (eV) | $k_{forward}$ (s^{-1}) | $k_{backward}$ (s^{-1}) |
|----------------------|--------------|-----------------------|----------------------------|-----------------------------|
| Heme bL to Heme bH | | | | |
| 2Fe2S to Heme c1 | | | | |
| Heme bL to Heme bL | | | | |
| Heme bH to Heme bH | | | | |
| Heme bL1 to Heme bH2 | | | | |

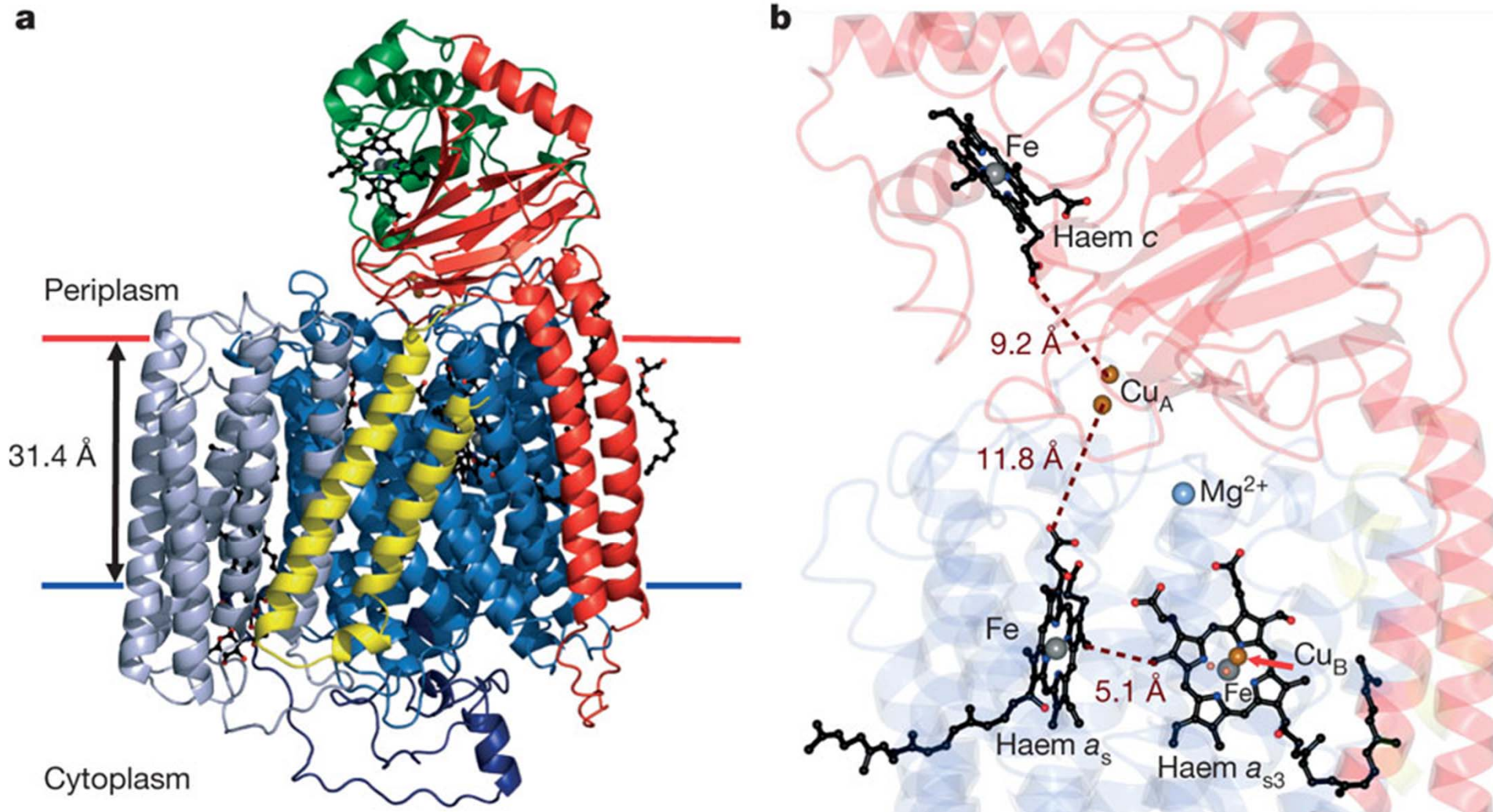
$$\Delta G[eV] = -n \cdot E_{Cell}[V]$$

$$\log(k_{ET}^{exer}) = 15 - 0.6R - 3.1 \frac{(\Delta G + 0.7)^2}{0.7}$$

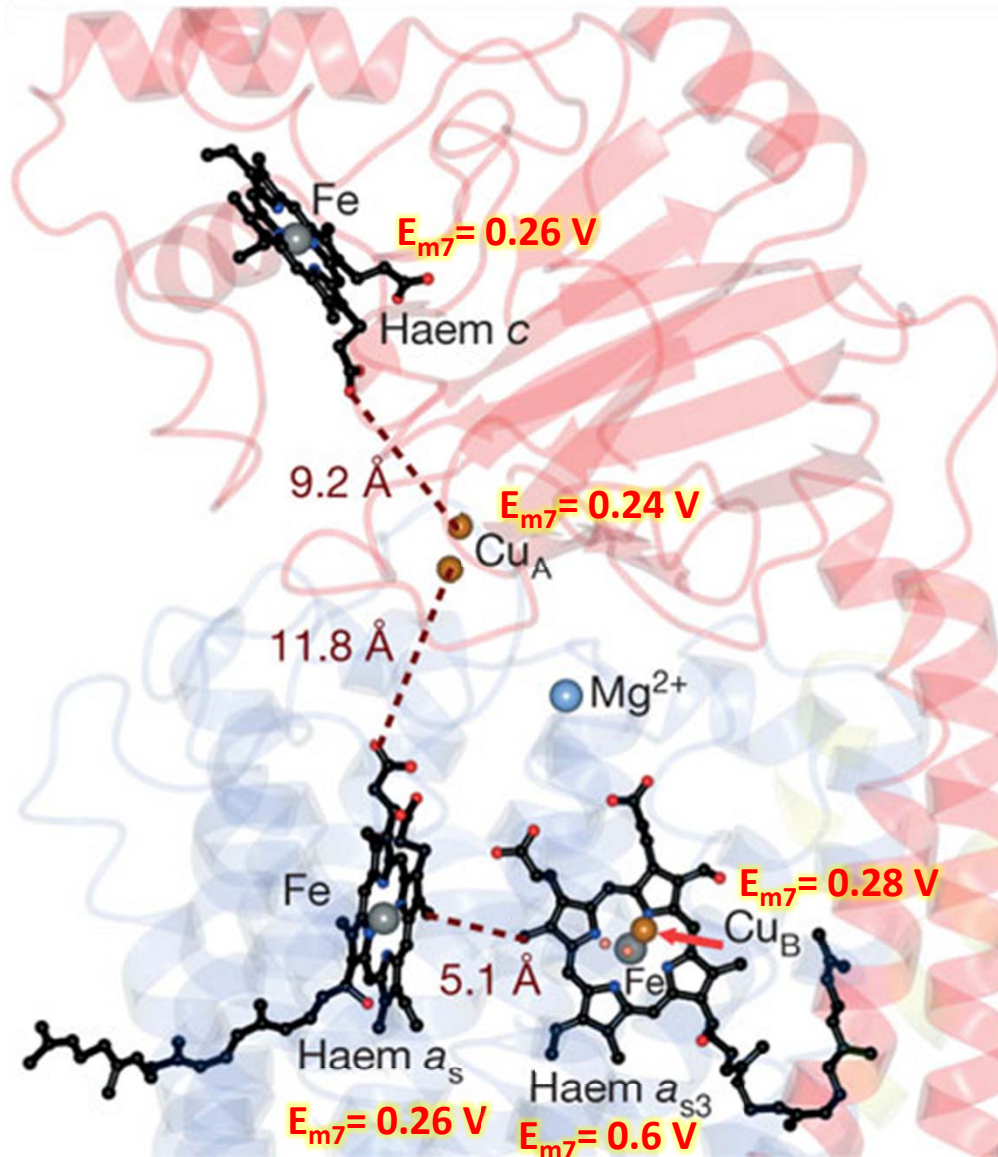
$$\log(k_{ET}^{ender}) = 15 - 0.6R - 3.1 \frac{(\Delta G + \lambda)^2}{\lambda} + \frac{\Delta G}{0.06}$$

Complejo IV: citocromo: O_2 oxidoreductasa → **Citocromo c oxidasa**

Citocromo c oxidasa (tipo aa_3) de *P. denitrificans*



Complejo IV: citocromo:O₂ oxidoreductasa → **Citocromo c oxidasa**



| Reactions | Distance (Å) | ΔG° (eV) | k_{forward} (s ⁻¹) | k_{backward} (s ⁻¹) |
|-------------------|--------------|-----------------------|---|--|
| Heme c to CuA | 9.2 | | | |
| CuA to Heme a | 11.8 | | | |
| Heme a to Heme a3 | 5.1 | | | |
| Heme a3 to CuB | 2.5 | | | |

$$\Delta G[eV] = -n \cdot E_{\text{Cell}}[V]$$

$$\log(k_{ET}^{exer}) = 15 - 0.6R - 3.1 \frac{(\Delta G + 0.7)^2}{0.7}$$

$$\log(k_{ET}^{ender}) = 15 - 0.6R - 3.1 \frac{(\Delta G + \lambda)^2}{\lambda} + \frac{\Delta G}{0.06}$$